



Конформационные и физико-химические контекстно зависимые свойства ДНК и их использование для построения методов анализа и распознавания функциональных районов ДНК

Метод конформационных параметров:
система B-DNA Video и SITECON

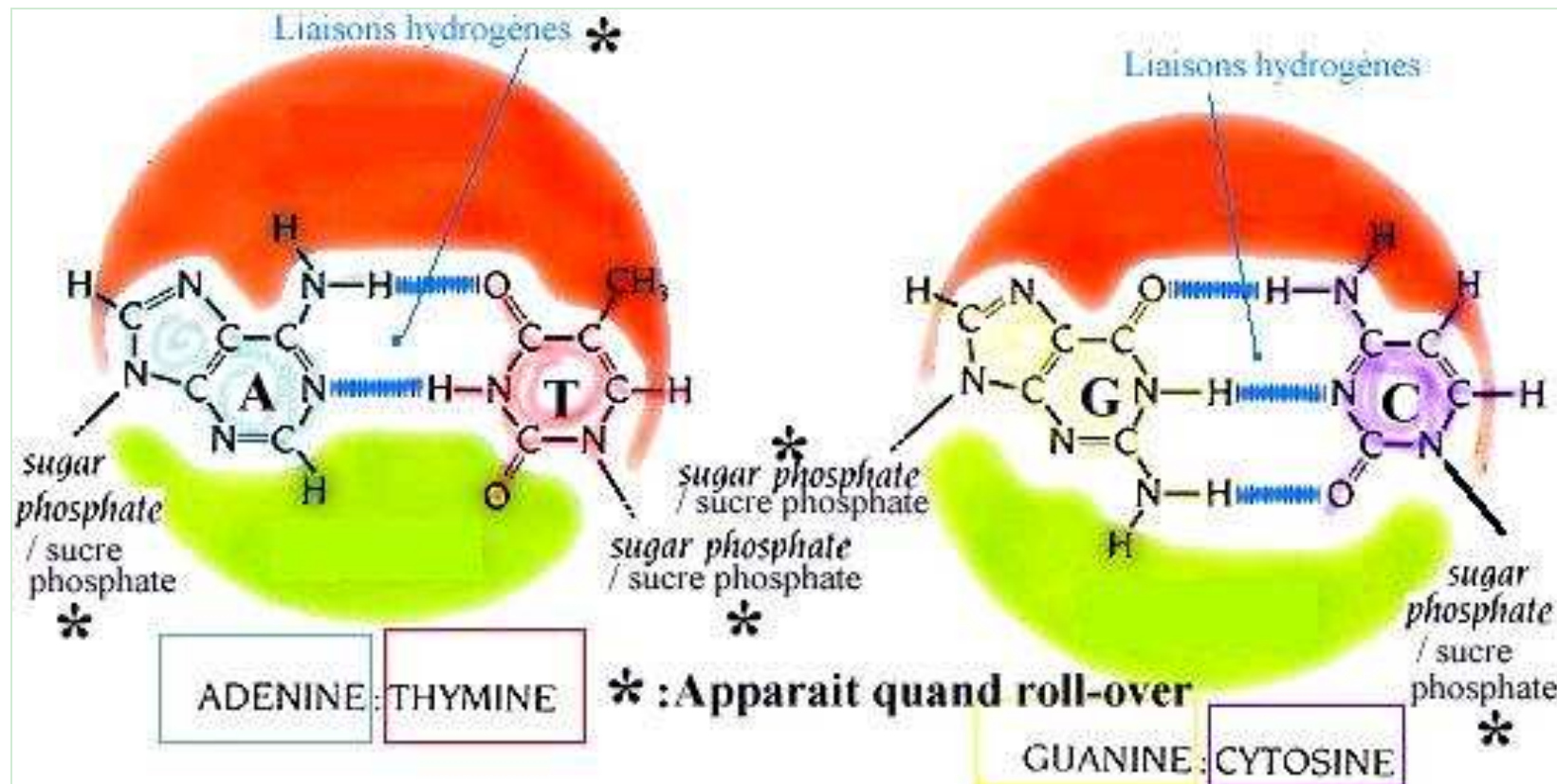
Ощепков Дмитрий Юрьевич

К.б.н., м.н.с. лаб. теоретической генетики

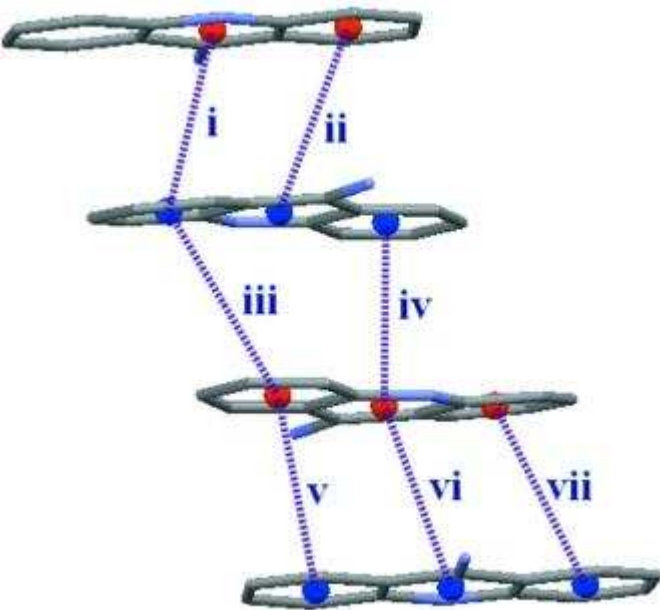
Institute of Cytology and Genetics SB RAS, Novosibirsk, Russia



Структура ДНК



Стэкинг-взаимодействия

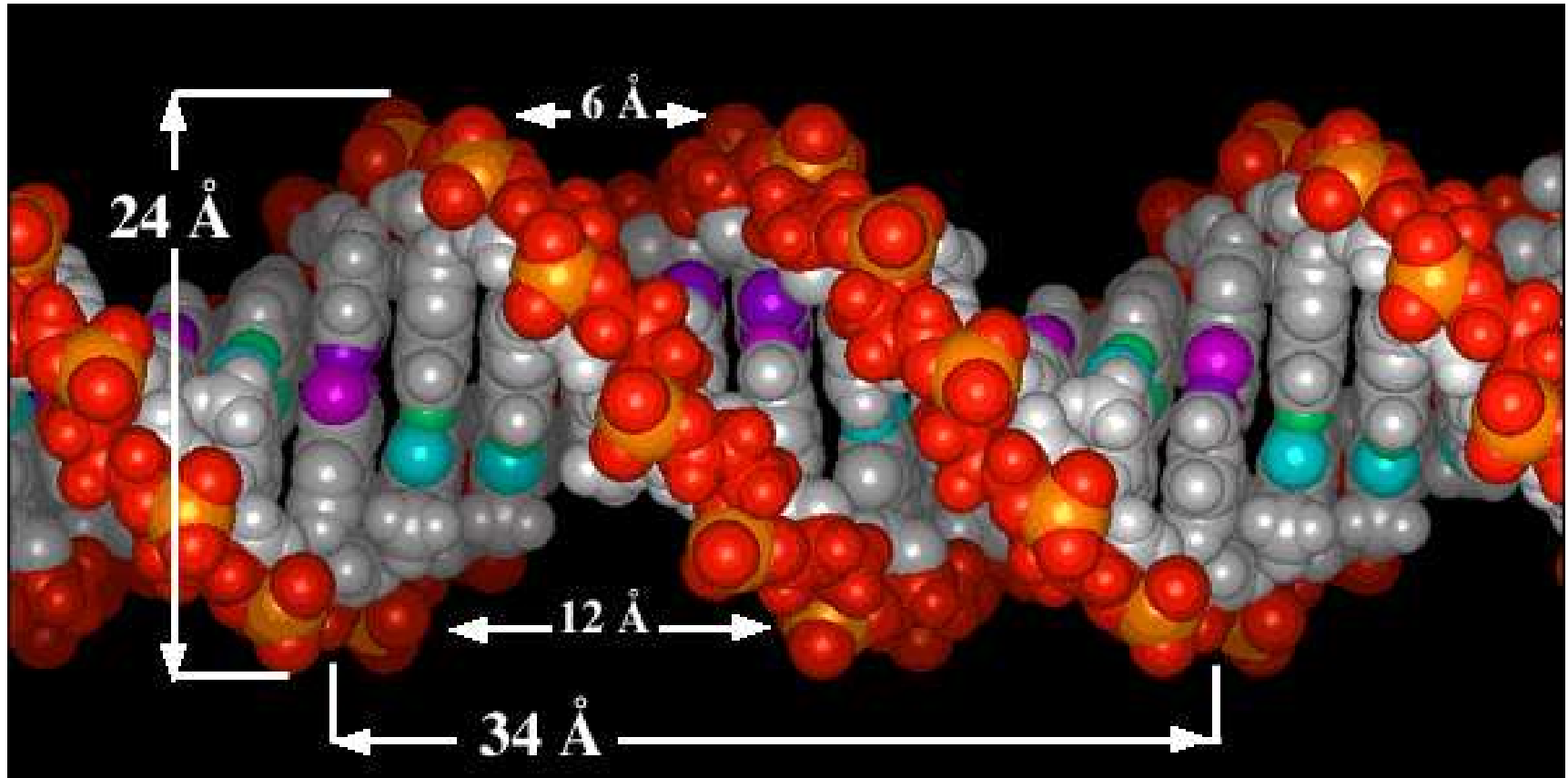


Термин стэкинг относится к такому расположению ароматических молекул, которое напоминает расположение монет в стопке и поддерживается ароматическими взаимодействиями. В ДНК параллельный стэкинг имеет место между соседними парами нуклеотидов и повышает стабильность молекулярной структуры. Азотистые основания нуклеотидов имеют пуриновые или пиrimидиновые группы в своем составе, состоящие, в свою очередь, из ароматических колец.

В молекуле ДНК ароматические кольца расположены примерно перпендикулярно оси спирали, поэтому их поверхности расположены параллельно, что способствует перекрыванию p-орбиталей этих оснований.



Напоминание: структура ДНК



Watson, J.D., Crick, F.H.C., A structure of deoxyribose nucleic acid, Nature, 171, 737-738 (1953)



- Триплетный (генетический) код
- Код укладки РНК
- Хроматиновый код
- Конформационный код
и т.д. (Трифонов, 1997)

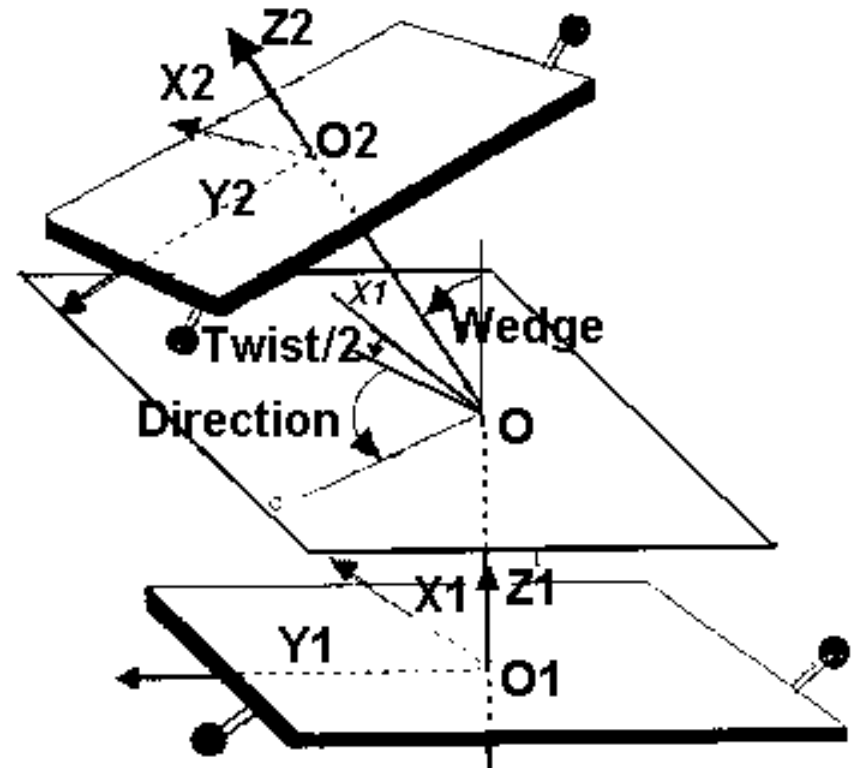
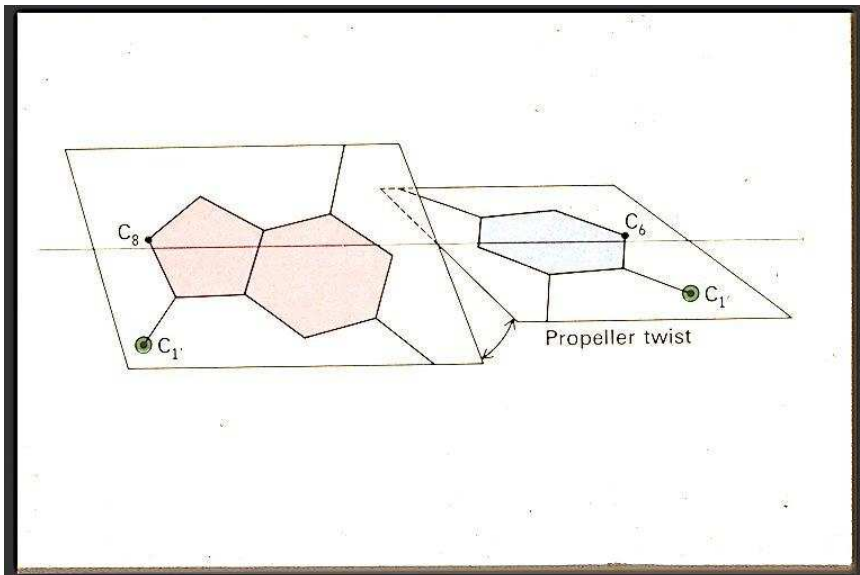
Конформационный код:

Определяемая контекстом локальная конформация молекул ДНК является одним из факторов специфичности ДНК – белкового узнавания. Нарастающий объем экспериментальных данных дает основания считать, что функционирование сайтов связывания транскрипционных факторов в значительной степени определяется конформационными и физико-химическими свойствами ДНК.



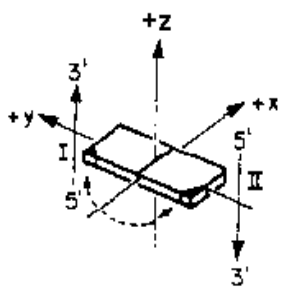
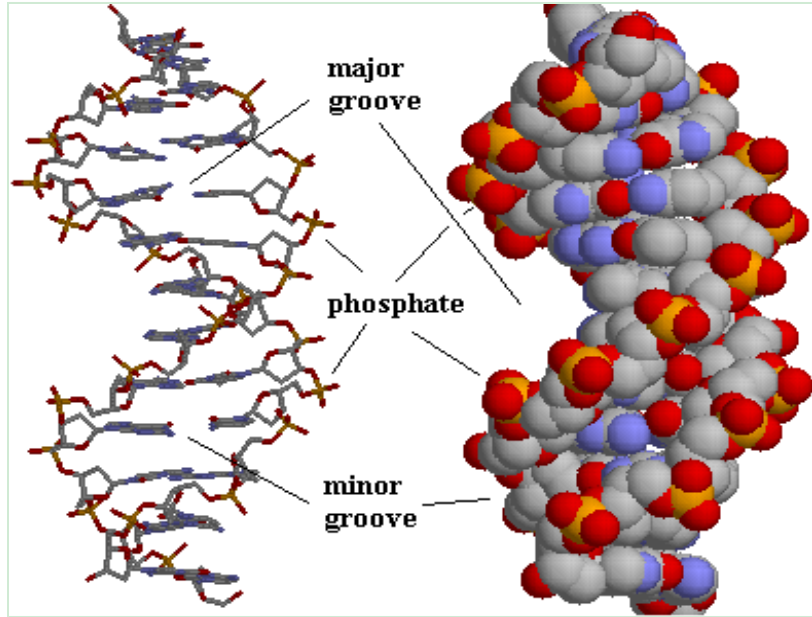
Конформационные свойства ДНК

Впервые зависимость конформации ДНК от контекста была обнаружена Dickerson and Drew (1981)

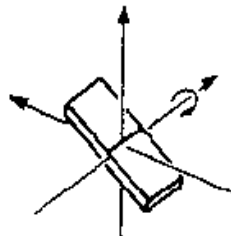




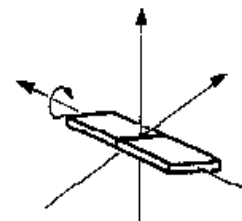
Конформационные свойства ДНК



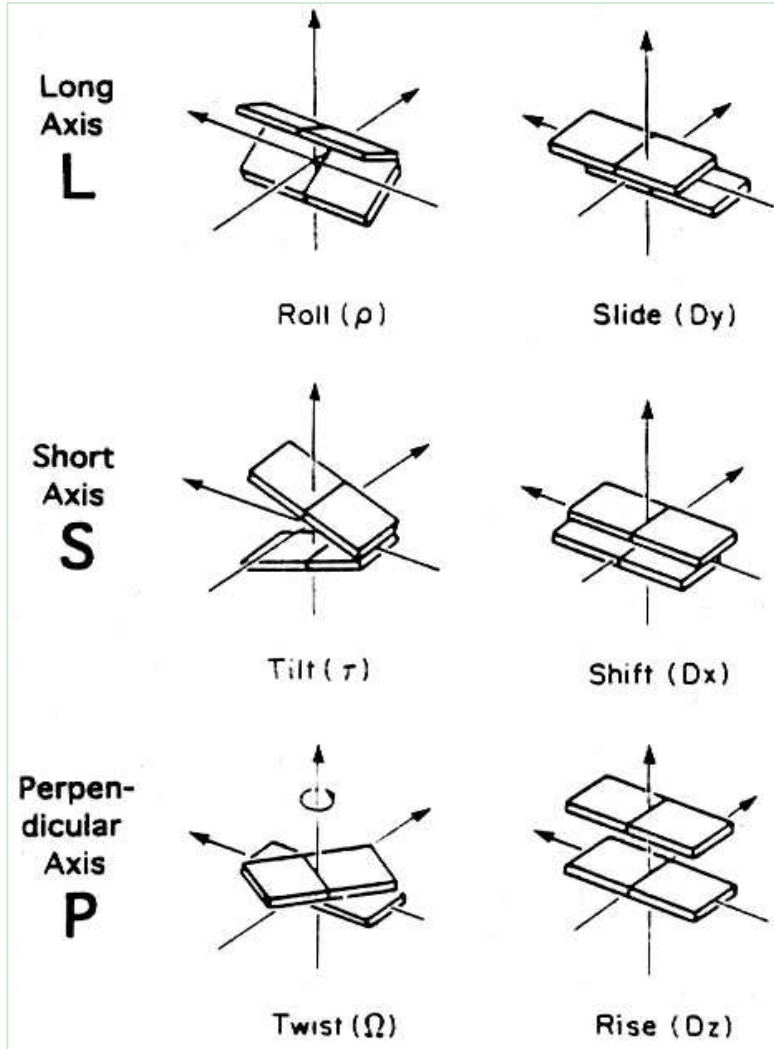
Coordinate frame



Inclination(η)



Tip (θ)





Конформационные свойства ДНК

Динуклеотид

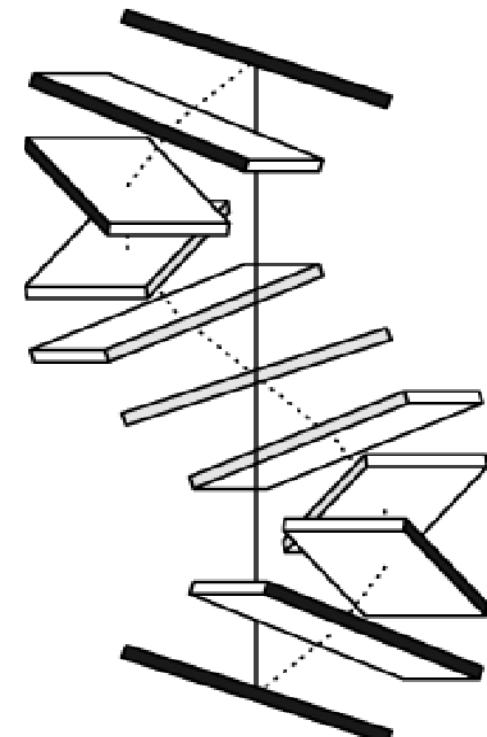
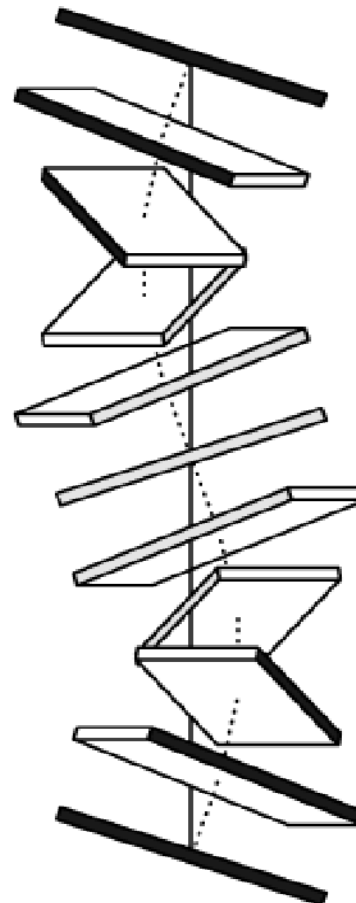
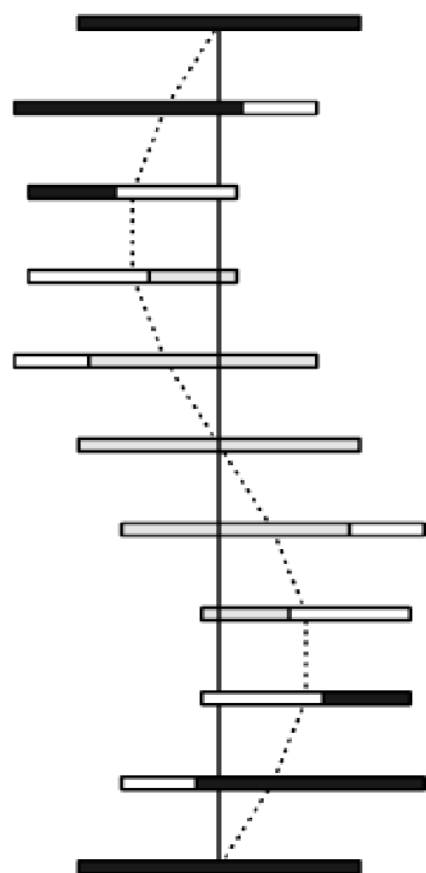
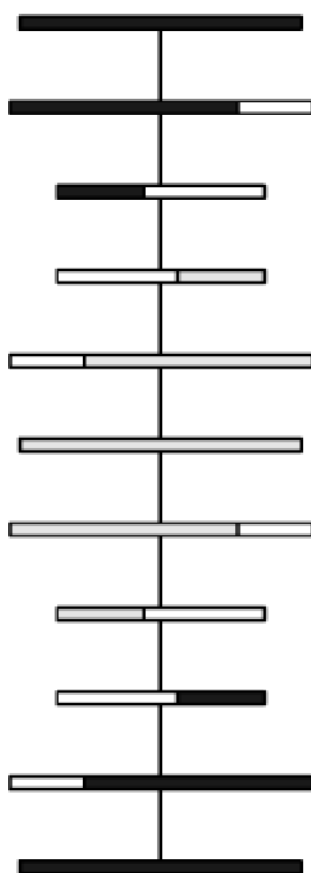
	Roll °	Slide, Å	Tilt °	Shift , Å	Twist °	Rise , Å
AA	0.3	-0.1	0.5	-0.06	35.3	3.16*
AT	-0.8	-0.4*	0.0	0.12*	31.2*	3.89
AG	4.5	0.4	2.8*	0.06	31.2*	3.63
AC	0.5	-0.2	0.1	0.06	32.6	3.41
TA	2.8	0.9	0.0	-0.17*	40.5*	3.21
TT	0.3	-0.1	0.5	-0.06	35.3	3.16*
TG	0.5	1.6*	-0.7*	0.02	32.6	3.23
TC	-1.3	0.0	0.9	0	40.3	3.47
GA	-1.3	0.0	0.9	0	40.3	3.47
GT	0.5	-0.2	0.1	0.06	32.6	3.41
GG	6.0*	0.8	2.7	0.05	33.3	4.08*
GC	-6.2*	0.4	0.0	-0.3	37.3	3.81
CA	0.5	1.6*	-0.7*	0.02	39.2	3.23
CT	4.5	0.4	2.8*	0.06	31.2*	3.63
CG	-6.2*	0.7	0.0	0.06	36.6	3.60
CC	6.0*	0.8	2.7	0.05	33.3	4.08*



Конформационные свойства ДНК



Зависимость конформации молекулы ДНК от конформационных параметров



Roll = 0°, Slide = 0 Å

Roll = 0°, Slide = -2 Å

Roll = 12°, Slide = 0 Å

Roll = 12°, Slide = -2 Å



Зависимость конформационных параметров ДНК от стерических взаимодействий экзоциклических групп NH_2 и O в бороздках спирали

Столкновение пуринов в противоположных полинуклеотидных цепях В-ДНК

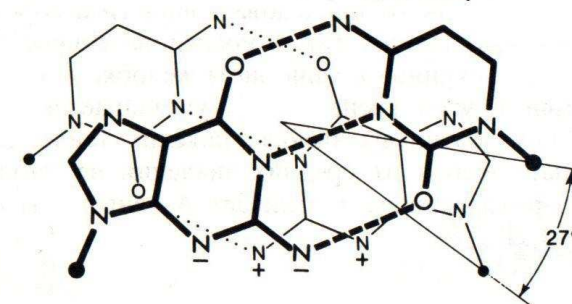
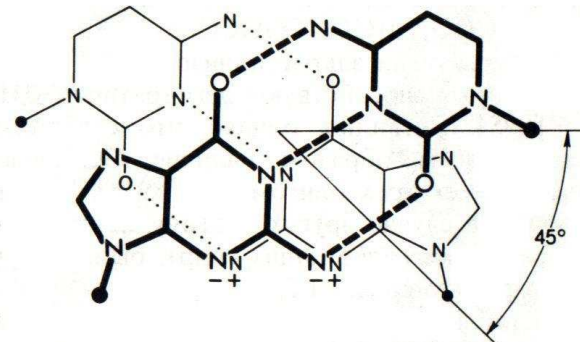
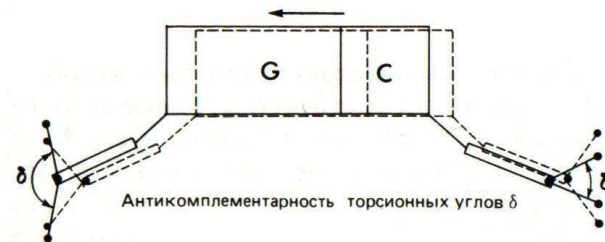
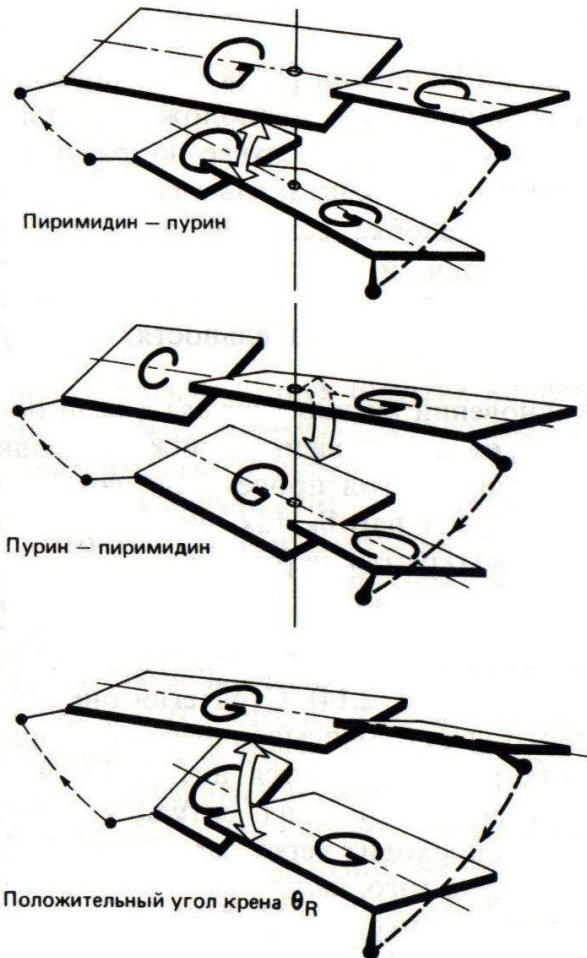
Возникновение стерически недопустимых контактов между «большими» экзоциклическими группами (NH_2 ; O) пуринов противоположных цепей: в случае последовательности пиримидин-3'-5'-пурин они контактируют в минорном желобке. В обратном случае контакты наблюдаются в главном желобке. Нежелательного эффекта можно избежать следующими способами:

- Локально уменьшить угол пропеллера оснований
- Изменить угол крена Roll таким образом чтобы уменьшить невыгодный контакт
- Сдвинуть пару оснований параллельно ее длинной оси и «вытянуть» пурин из спиральной стопки
- Уменьшить угол спирального вращения, чтобы минимизировать нежелательные взаимодействия

Calladine C.R. (1982) Mechanics of sequence-dependent stacking of bases in B-DNA. *J Mol Biol.* 161(2):343–352



Конформационные свойства ДНК (Правила Калладина)



Зенгер В. (1987) Принципы структурной организации нуклеиновых кислот. Москва, "Мир".



Физико – химические свойства ДНК



Физико-химические свойства – это характеристика того, как молекула ДНК реагирует на внешние взаимодействия.

1. Температура плавления

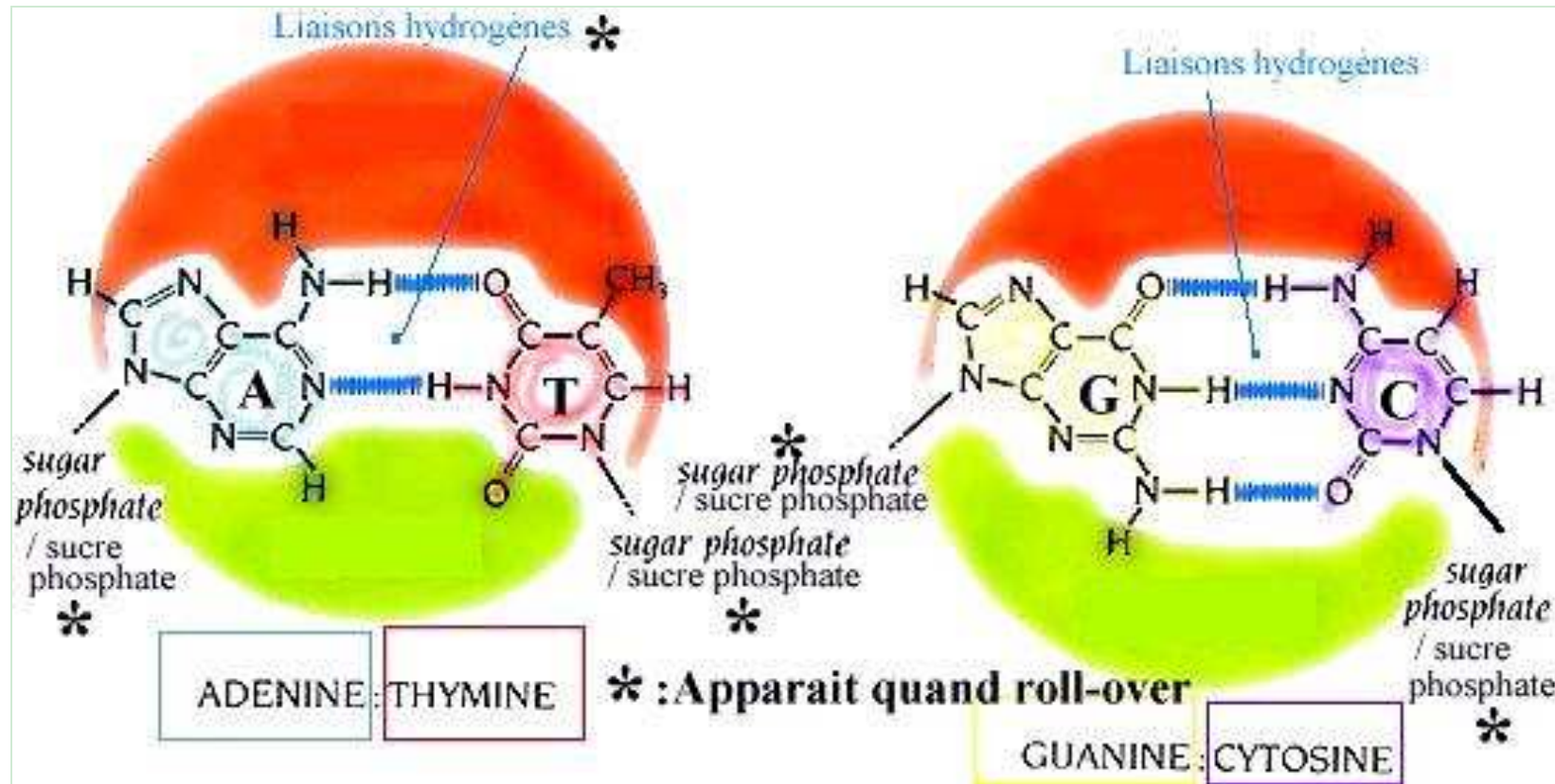
2. Изгибная жесткость

3. Заряд

...



Напоминание: структура ДНК



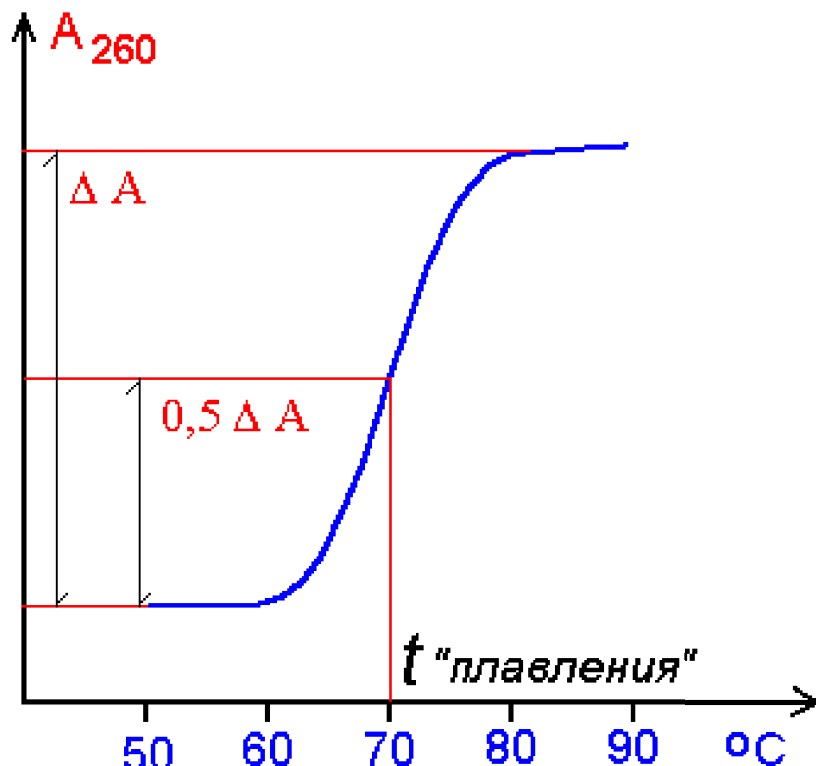


Физико – химические свойства ДНК: температура плавления



Денатурация ДНК заключается в разрыве Н-связей и стэкинг-взаимодействий, что приводит к расплетанию и разделению цепей (без разрыва ковалентных связей) под действием температуры или pH.

О степени денатурации судят по изменению интенсивности поглощения в ультрафиолете при $\lambda = 260 \text{ nm}$, поскольку дезэкранирование азотистых оснований в результате расплетания цепей устраняется, что вызывает увеличение степени поглощения раствором ДНК ультрафиолета указанной длины волны:



Денатурацию иначе называют плавлением, а температура плавления соответствует моменту 50%-ной денатурации молекулы. Температура плавления различается у разных ДНК.

Температура плавления линейно зависит от доли GC-пар в ДНК, x_{GC} :
 $T_m = T_{\text{AT}} + (T_{\text{GC}} - T_{\text{AT}}) * x_{\text{GC}}$,
Температура плавления GC выше чем AT.
Для разрушения двух Н-связей AT-пар требуется меньше энергии, чем для разрыва трех Н-связей GC-пар, значения температуры и pH, при которых происходит денатурация, зависят от нуклеотидного состава ДНК.

Температура плавления, $^{\circ}\text{C}$
AA 54.50
AT 57.02
AG 58.42
AC 97.73
TA 36.73
TT 54.50
TG 54.71
TC 86.44
GA 86.44
GT 97.73
GG 85.97
GC 136.12
CA 54.71
CT 58.42
CG 72.55
CC 85.97



Физико – химические свойства ДНК: изгибная жесткость



Перsistентная длина измеряется как средняя длина между двумя участками двойной спирали, направления которых отличаются на 1 радиан, и отражает ее изгибную жесткость.

Изгибная жесткость ДНК характеризуется перsistентной длиной или длиной Кунна,
 $L_{кун}=0.5L_{перс.}$ В типичных физиологических условиях $L_{кун}=300-340$ п.н.

Изгибная жесткость ДНК анизотропна

Перsistентная длина, нМ
AA 35.0
AT 20.0
AG 60.0
AC 60.0
TA 20.0
TT 35.0
TG 60.0
TC 60.0
GA 60.0
GT 60.0
GG 130.0
GC 85.0
CA 60.0
CT 60.0
CG 85.0
CC 130.0



Транскрипционные факторы



Транскрипционные факторы (ТФ) белки, специфически связывающиеся с ДНК и регулирующие транскрипцию.

Они взаимодействуют с короткими участками ДНК (сайтами связывания), которые расположены в различных районах генов. ТФ специфично регулируют определенные группы генов ;

От них отличаются :

Базальные транскрипционные факторы (GTFs = БТФ) - особый класс вспомогательных белков, необходимых для точной посадки РНК-полимераз на участки ДНК, прилежащие к стартам транскрипции. БТФ являются общими для всех генов и вовлечены в образование прединициаторного комплекса (ПИК) ;

Некоторые БТФ, например, ТВР, имеют ДНК-связывающий домен, однако функция БТФ реализуется, в основном, через белок-белковые взаимодействия с другими БТФ, ТФ, а также коактиваторами, медиаторами и т.д.

Белки, не имеющие ДНК-связывающих доменов:

Белки-медиаторы и корегуляторные белки (коактиваторы и корепрессоры) не имеют ДНК-связывающих доменов и участвуют в регуляции транскрипции без непосредственного специфического взаимодействия с ДНК



Транскрипционные факторы



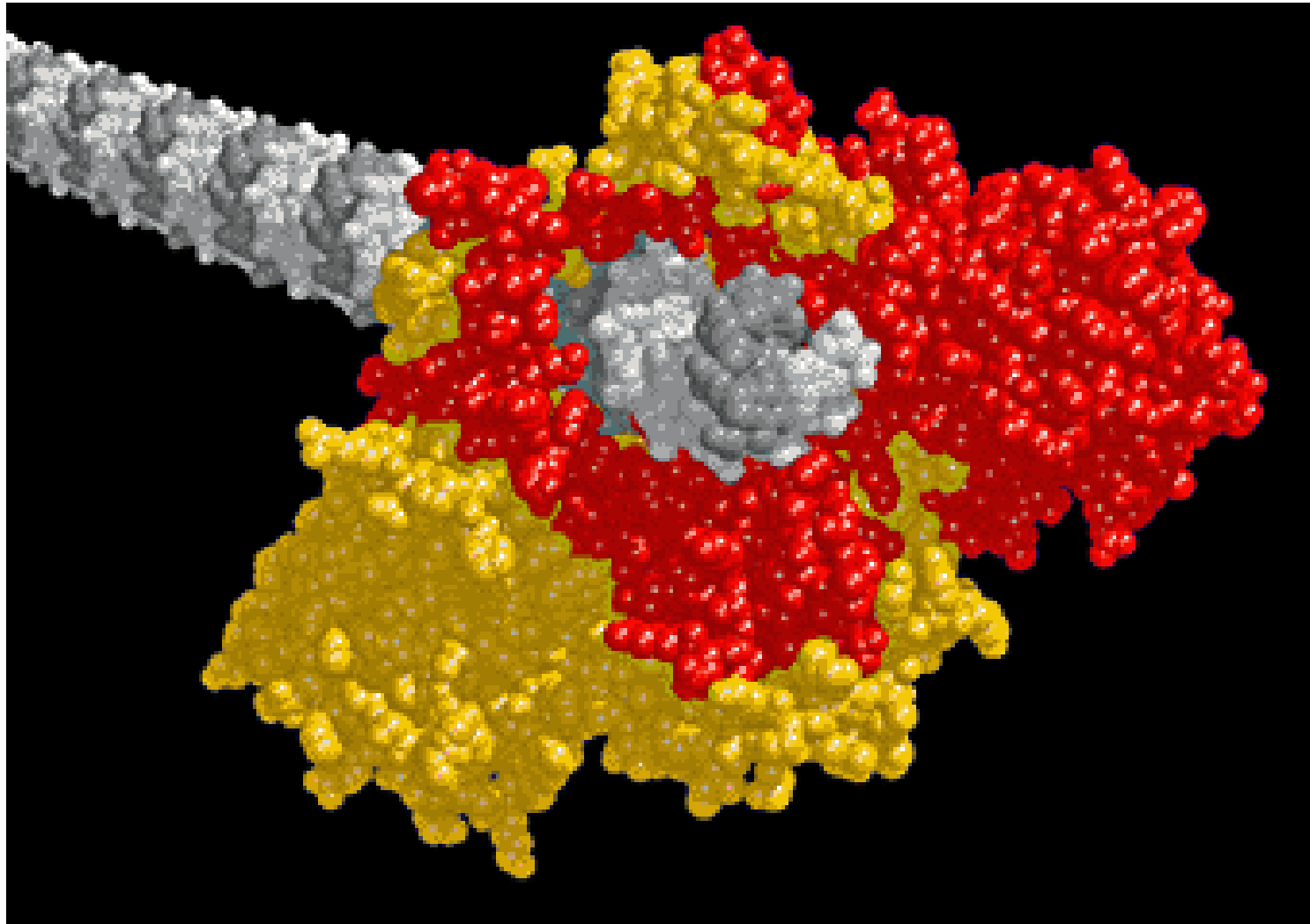
ТРАНСКРИПЦИОННЫЙ ФАКТОР – это белок, который после его перемещения в ядро клетки регулирует транскрипцию, специфически взаимодействуя с ДНК, либо стехиометрически взаимодействуя с другим белком, который может образовывать специфичный к последовательности ДНК комплекс “белок - ДНК”. (Э.Вингендер)

- В большинстве изученных к настоящему моменту случаев ТФ стимулируют формирование комплекса предынициации на ТАТА-боксе / инициаторном элементе за счет взаимодействия их транс-активирующих доменов с компонентами базального транскрипционного комплекса, либо непосредственно, либо через коактиваторы / медиаторы.
- Некоторые ТФ вызывают изменения структуры хроматина, делая его более доступным для РНК-полимераз.
- Некоторые ТФ являются вспомогательными, создавая оптимальную конформацию ДНК для действия других ТФ
- Известны ТФ, которые подавляют транскрипцию за счет непосредственного действия своих ингибирующих доменов, либо нарушая совместное функционирование комплекса ТФ внутри регуляторной области гена (промотора, энхансера)

Иногда некоторые ТФ, действуют на транскрипцию, не связываясь с ДНК, а объединяются в более сложные комплексы посредством белок – белковых взаимодействий. В любом случае, ТФ имеют ДНК-связывающий домен, в обратном случае такой белок называется транскрипционный регулятор



ДНК - белковые взаимодействия

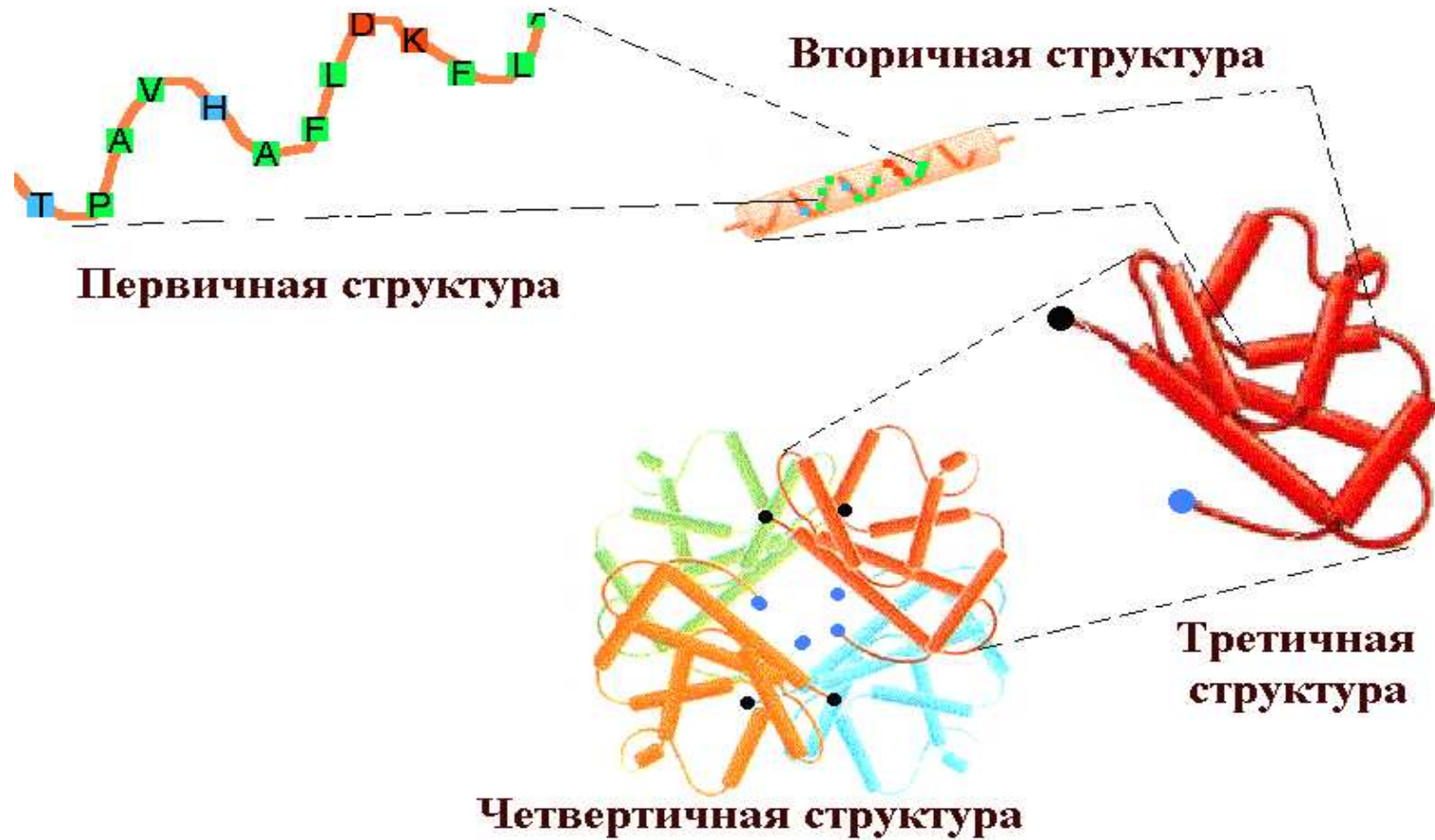




Структура белков – уровни организации

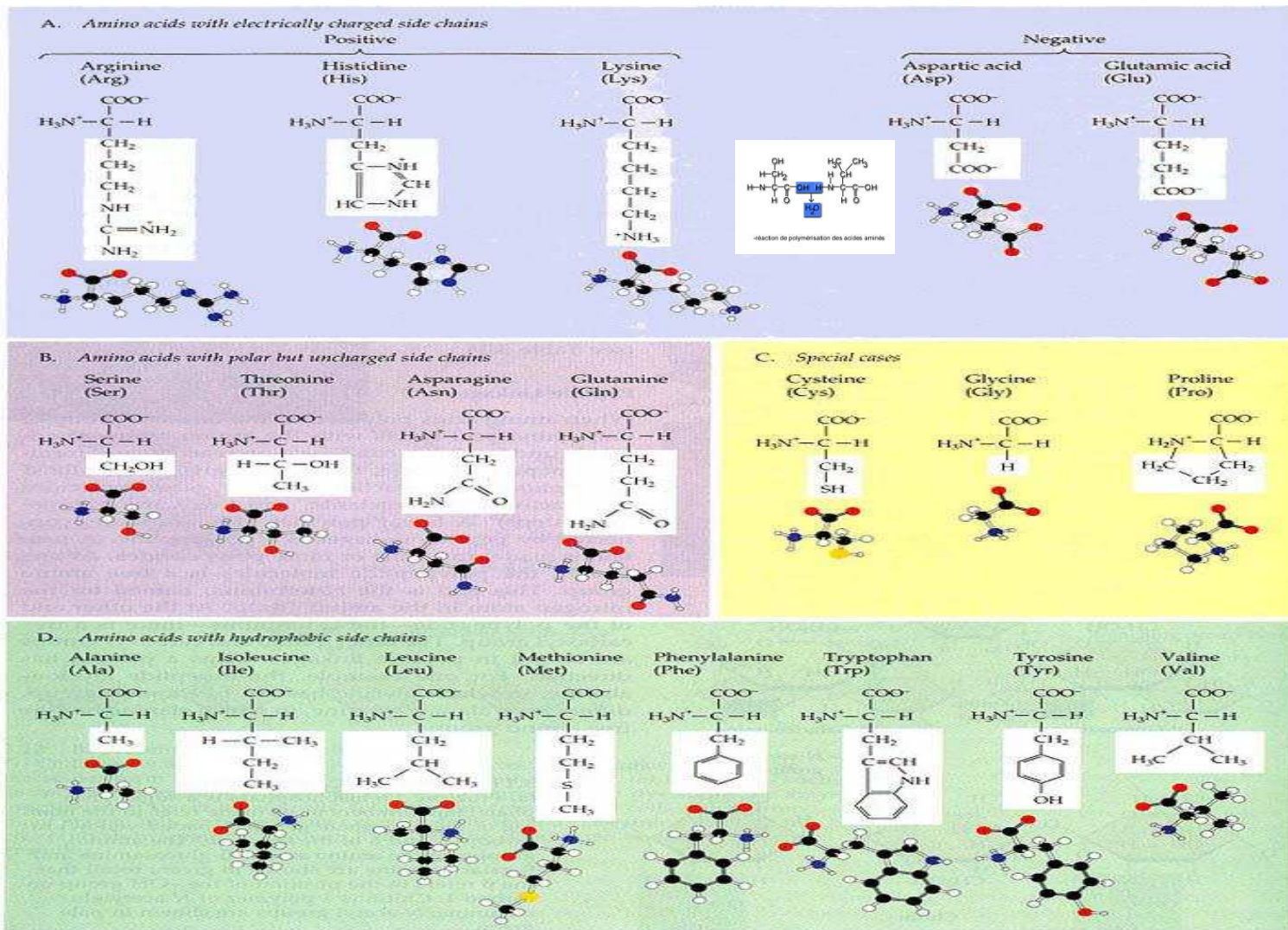


Уровни организации белков





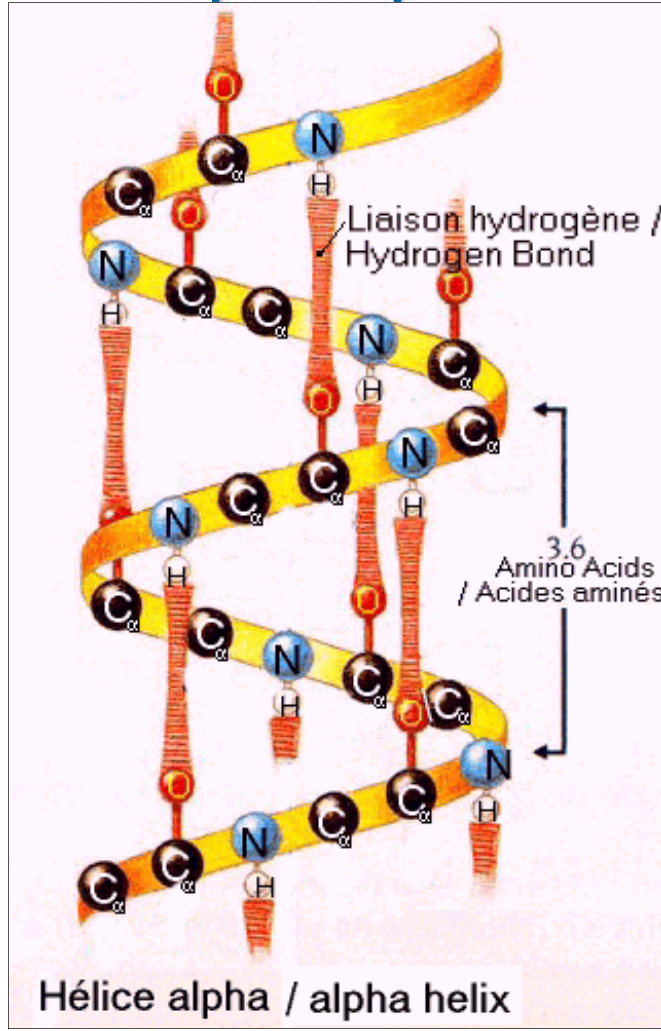
Структура белков - аминокислоты



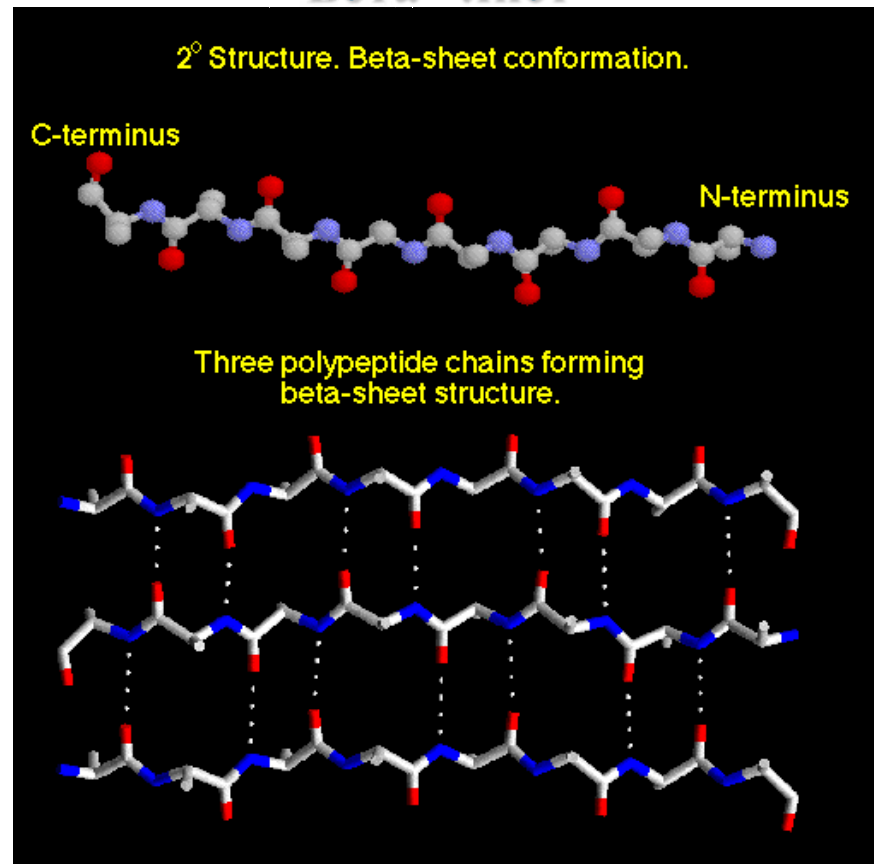


Структурные единицы белков

Альфа - спираль



Бета - лист





ДНК – связывающие домены

КЛАССИФИКАЦИЯ ДНК - СВЯЗЫВАЮЩИХ ДОМЕНОВ



<i>уровень</i>	<i>Структура нумерации</i>	<i>Наименование группы</i>	<i>Критерий</i>	<i>Пример</i>
1	N	Суперкласс	Общая топология ДСД	Домены, координированные цинком
2	N.N	Класс	Структурная характеристика ДСД	Ядерные рецепторы с “цинковыми пальцами”
3	N.N.N	Семейство	Функциональные критерии, такие, как образование ДНК - белкового комплекса	T ₃ R/RAR (в отличие от рецепторов стероидных гормонов)
4	N.N.N.N	Подсемейство	Как правило, в соответствии со сходством последовательностей в ДСД	RAR (рецептор ретиновой кислоты)
5	N.N.N.N.N	Род фактора	В соответствии с геном фактора	RAR- α , RAR- β
6	N.N.N.N.N.N	Вид фактора	Варианты инициации/сплайсинга / процессинга	RAR- β 1, RAR- β 2
Схема классификации ТФ согласно Вингендеру и структура кода				



ДНК – связывающие домены

КЛАССИФИКАЦИЯ ДНК - СВЯЗЫВАЮЩИХ ДОМЕНОВ



Суперкласс 1. Факторы, ДСД которых обогащен положительно заряженными аминокислотными остатками (basic domain);

Суперкласс 2. Факторы, ДСД которых формируются с участием координирующих ионов цинка (zinc-coordinatins DNA-binding domain);

Суперкласс 3. Факторы, имеющие ДНК - связывающий мотив типа спираль – поворот – спираль (helix-turn-helix DNA – binding motif);

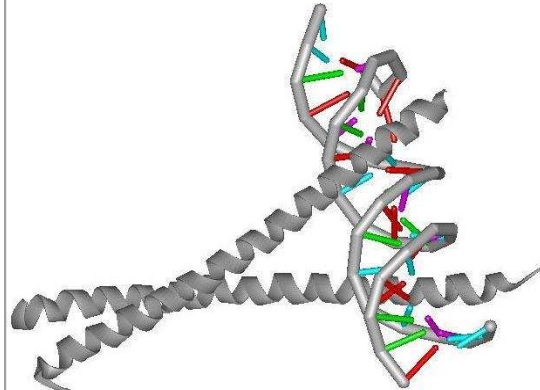
Суперкласс 4. Факторы, у которых поверхность, контактирующая с ДНК, представлена в виде сложным образом организованного скэфмолда из β -нитей.



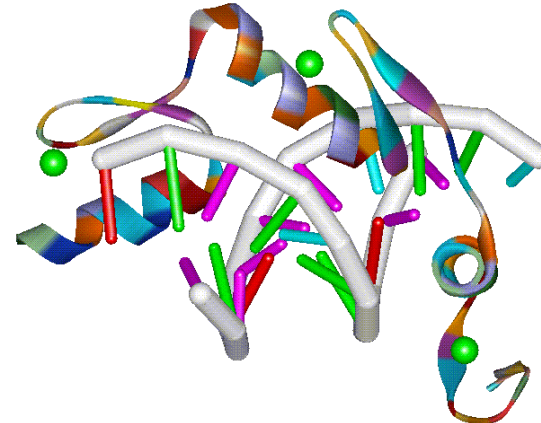
ДНК – связывающие домены

ОСНОВНЫЕ ТИПЫ ДНК - СВЯЗЫВАЮЩИХ ДОМЕНОВ

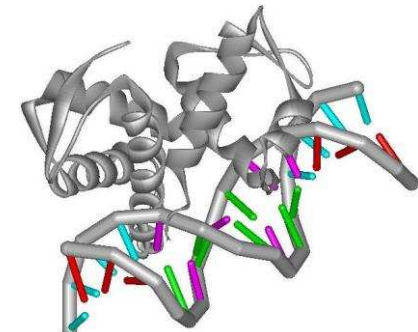
1. bZIP



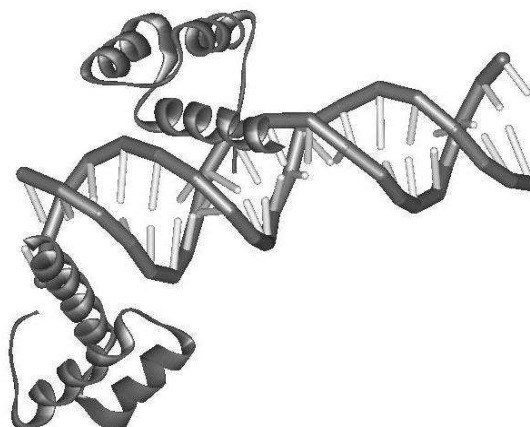
2. Zinc coordinated



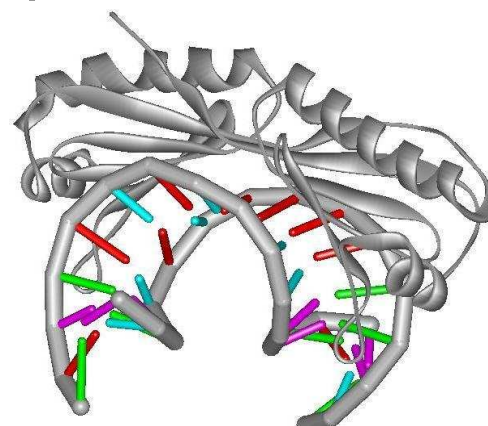
Другие -E2



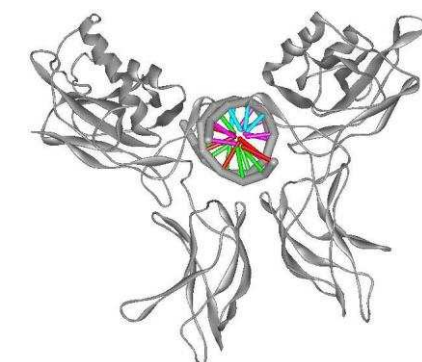
3. Helix-Turn-Helix



4. β -scaffold



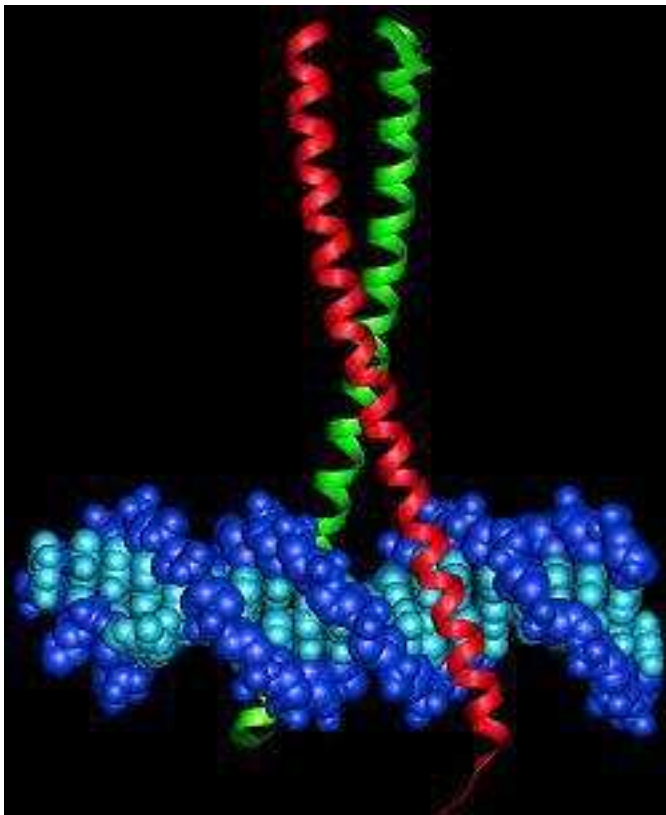
Другие – REL



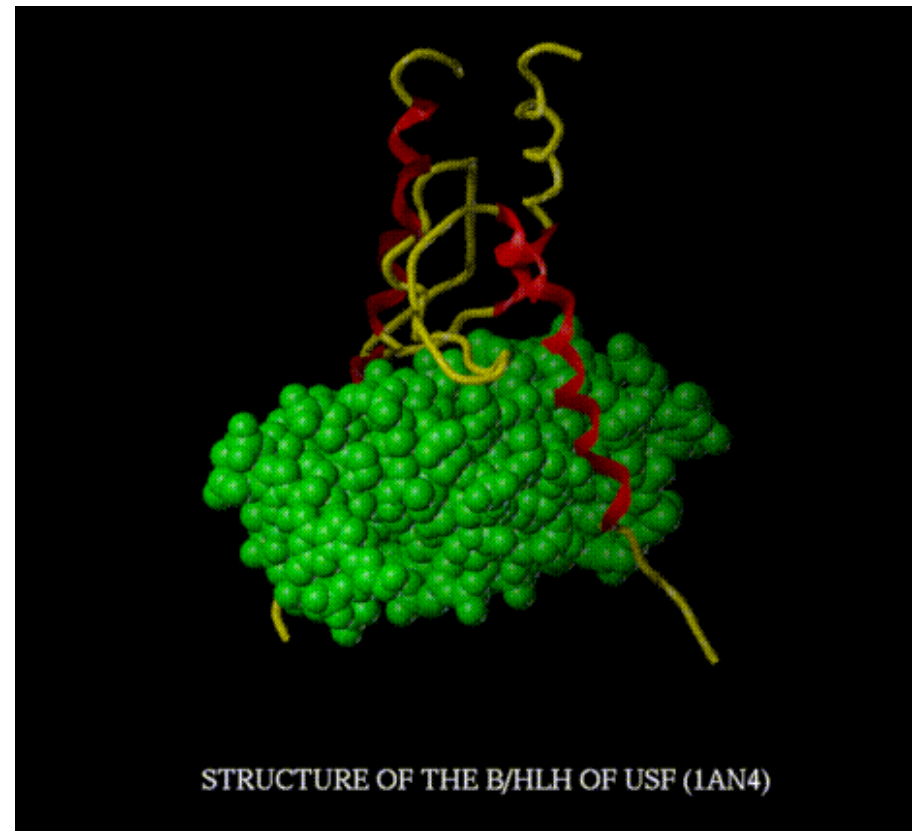


ДНК – связывающие домены

Лейциновая застежка (b -zipper)



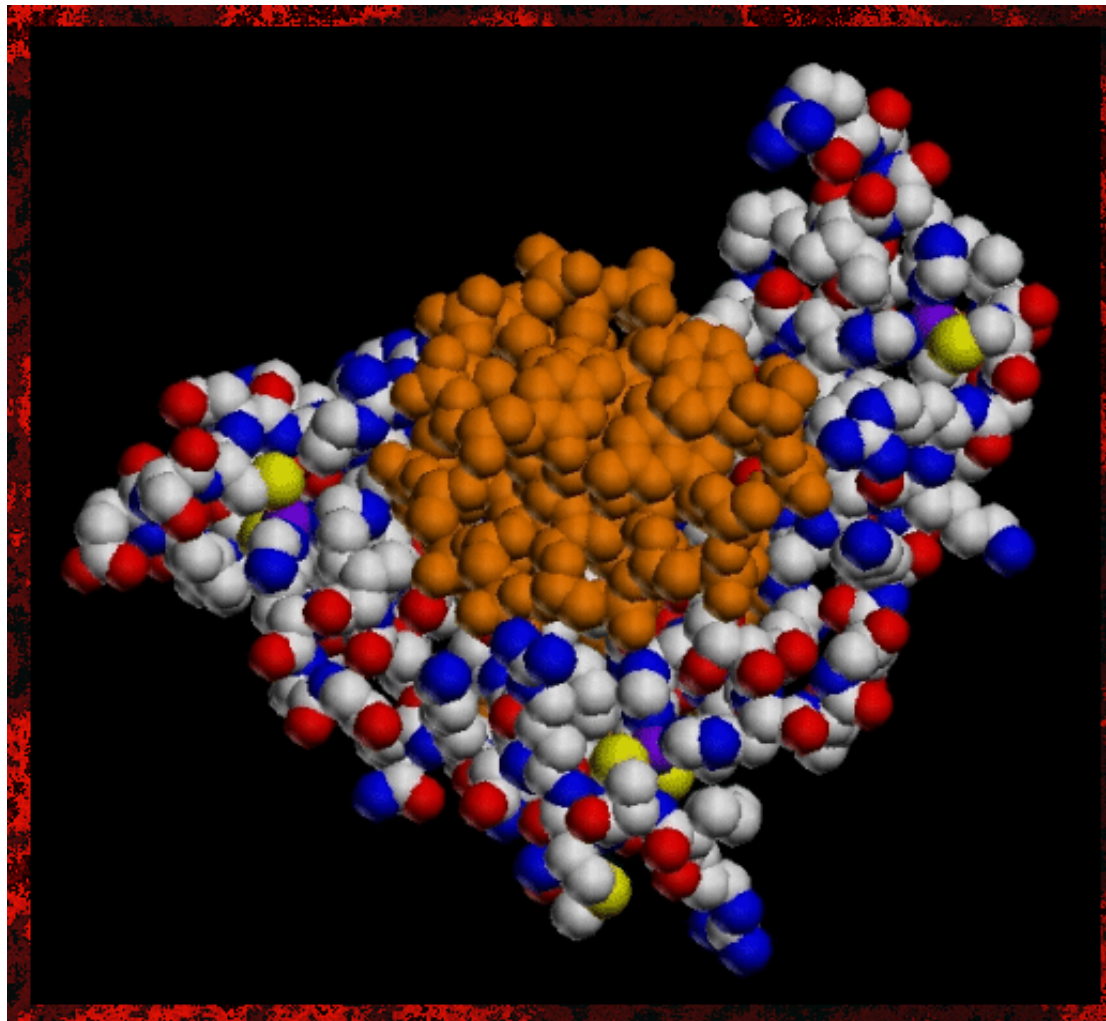
Спираль – петля – спираль (Helix-Loop-Helix)





ДНК – связывающие домены

Домены, координированные атомами цинка (Zn - finger)

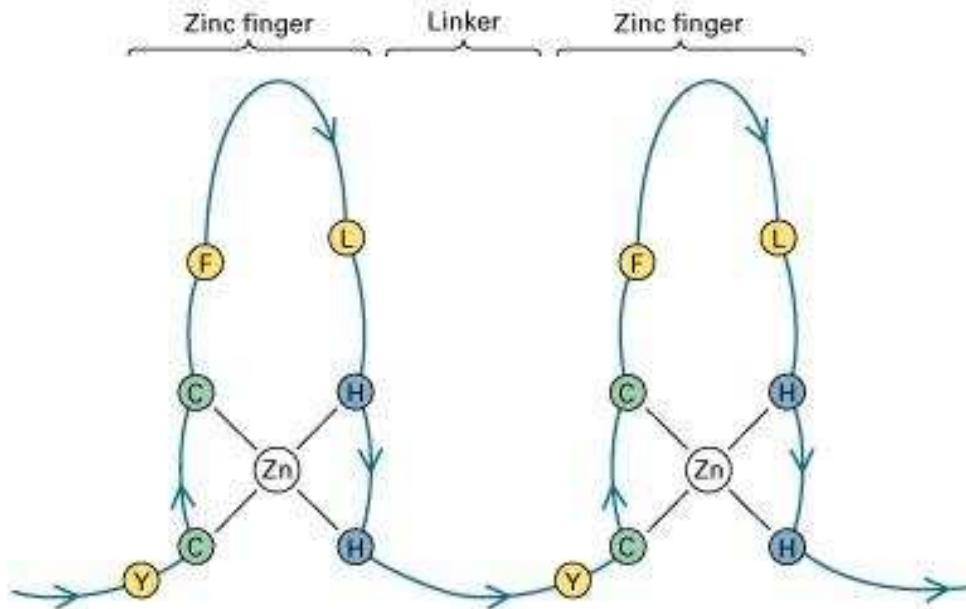




ДНК – связывающие домены

Домены, координированные атомами цинка (Zn - finger)

A



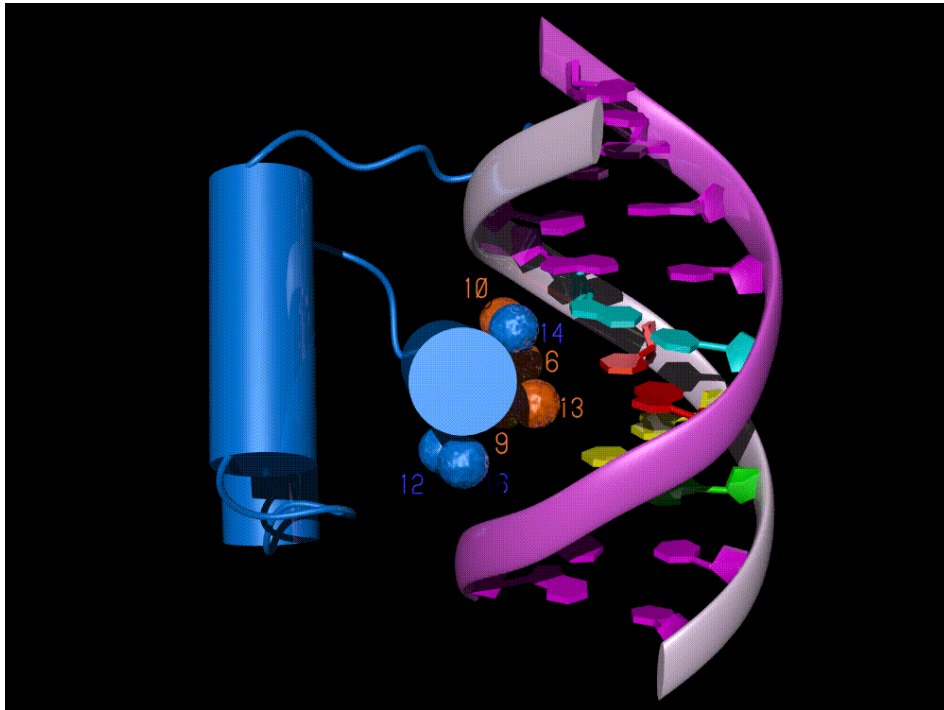
B

1	Y I C S F A D C G A A Y N K N W K L Q - A H L C - K H
2	T G E K - P F P C K E E G C E K G F T S L H H L T - R H S L - T H
3	T G E K - N F T C D S D G C D L R F T T K A N M K - K H F N R F H
4	N I K I C V Y V C H F E N C G K A F K K H N Q L K - V H Q F - S H
5	T Q Q L - P Y E C P H E G C D K R F S L P S R L K - R H E K - V H
6	A G - - - Y P C K K D D S C S F V G K T W T L Y L K H V A E C H
7	Q D - - - L A V C - - D V C N R K F R H K D Y L R - D H Q K - T H
8	E K E R T V Y L C P R D G C D R S Y T T A F N L R - S H I Q S F H
9	E E Q R - P F V C E H A G C G K C F A M K K S L E - R H S V - V H

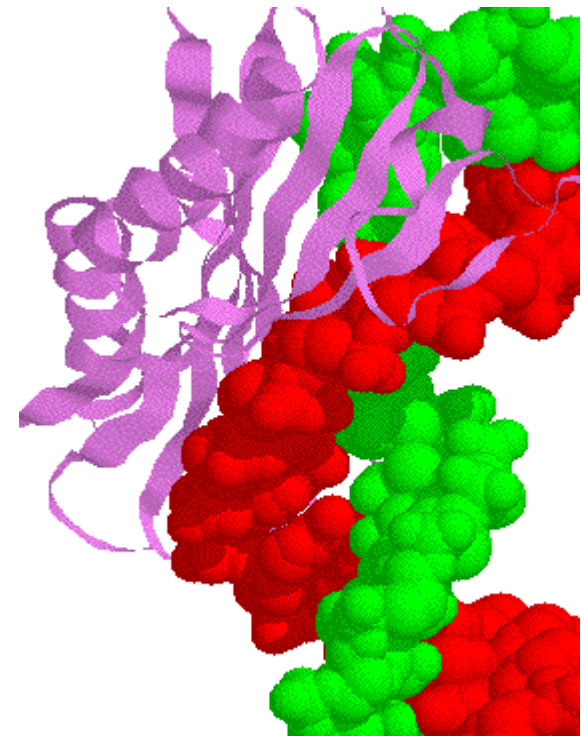


ДНК – связывающие домены

Спираль - поворот - спираль
(Helix - turn - helix)



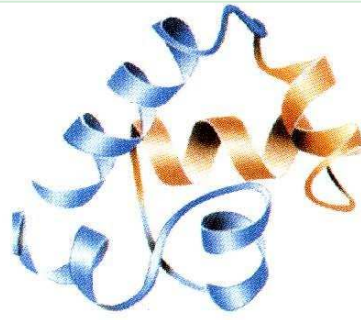
β -scaffold
(TATA - box +
DNA - polymerase)



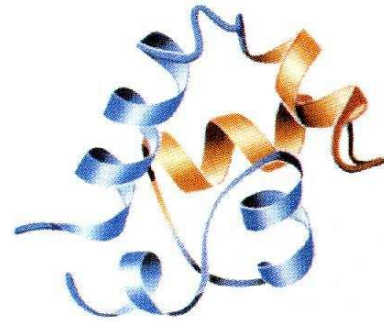


ДНК – связывающие домены

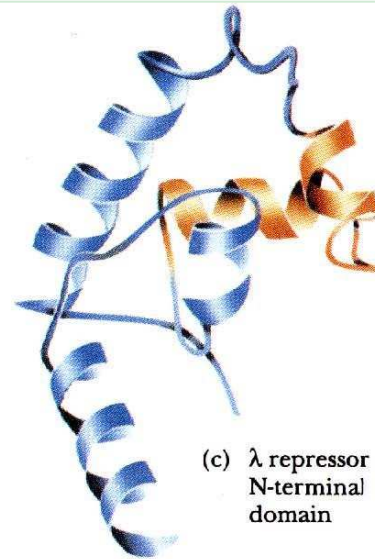
Домены с мотивом Спираль – поворот – спираль (helix – turn - helix)



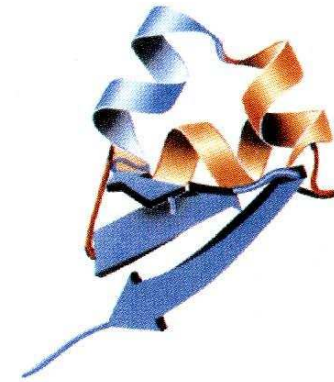
(a) 434 repressor
N-terminal
domain



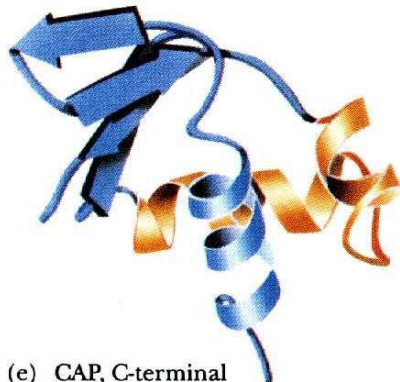
(b) 434 Cro



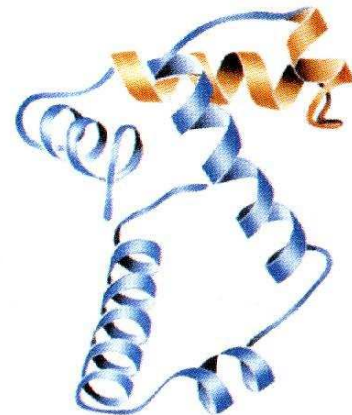
(c) λ repressor
N-terminal
domain



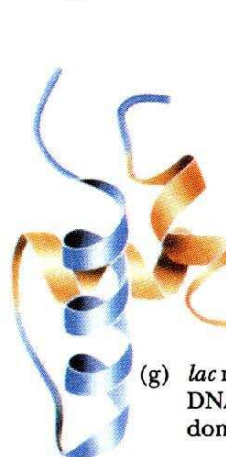
(d) λ Cro



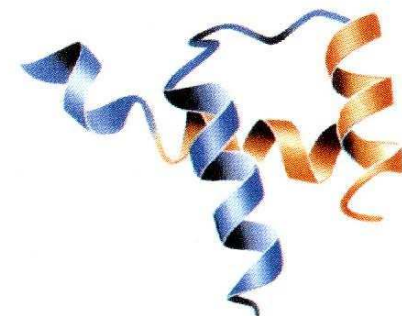
(e) CAP, C-terminal
domain



(f) *trp* repressor
subunit



(g) *lac* repressor
DNA-binding
domain



(h) *Antp* homeodomain



Система B-DNA Video

Интерфейс системы B-DNA Video в системе Gene Express

Address <http://wwwmgs.bionet.nsc.ru/mgs/gnw/bdna/>

**M
S&G Gene Express 2.1**

HOME DNA RNA PROTEIN GENENETWORKS MAP

B-DNA

General information

[B-DNA publications](#)
[B-DNA workgroup](#)
[B-DNA introduction](#)

User's guide

[HELPs](#)
[Format description:](#)
[FEATURES](#)
[The conformational and physico-chemical DNA properties.](#)
[How to use the Recognition Tools?](#)
[Significant conformational and physico-chemical features](#)
[Mean Recognition](#)

B-DNA-VIDEO. This database is designed to study the sets of various transcription factor binding sites, providing evidence that transcription factor binding sites are characterized by specific sets of significant conformational and physicochemical DNA properties. For a fixed site, by using the B-DNA features selected for this site recognition, the C-program recognizing this site may be generated, control tested and stored in the database B-DNA-VIDEO. Each B-DNA-VIDEO entry links to the Web-applet recognizing the site, whose significant B-DNA features are stored in this entry as the 'site recognition programs'. The pairwise linked entry-applet pairs are compiled within the B-DNA-VIDEO system, which is simultaneously the database and the program tools package applicable immediately for recognizing the sites stored in the database. Indeed, this is the novelty.

ACCESS to B-DNA

SRS ACCESS : SAMPLES [FEATURES](#) PROFILE LIST PROPERTY
Recognition: [bDNA Profiles](#) [DNA Property Plot](#)

General information

[B-DNA publications](#)
[B-DNA workgroup](#)
[B-DNA introduction](#)

User's guide

[HELPs](#)
[Format description:](#)
[FEATURES](#)
[The conformational and physico-chemical DNA properties.](#)
[How to use the Recognition Tools?](#)
[Significant conformational and physico-chemical features](#)
[Mean Recognition](#)



Система B-DNA Video

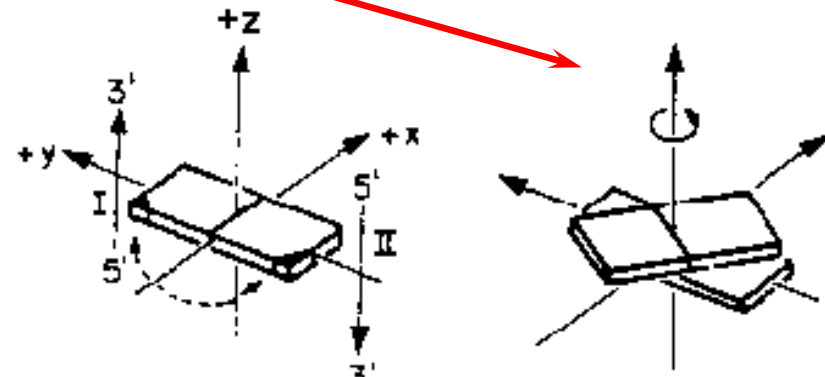
Система B-DNA Video: База данных PROPERTY

MI P0000001
 MN Conformational
 MD B-DNA
 ML dinucleotide step
 YY
 HN [SCI00001](#)
 YY
 RN [RF000012](#)
 RN [RF000017](#)
 XX
 PN Twist
 PM Calculated by Sklenar, and averaged by Ponomarenko
 PV TwistCalc
 PU Degree
 YY
 WW <http://wwwmgs.bionet.nsc.ru/Programs/acts2/images/TWIST.html>
 YY
 WW http://wwwmgs.bionet.nsc.ru/Programs/acts2/gallery/TwOO_bDNA.html
 YY
 DINUCLEOTIDE
 AA 38.90
 AT 33.81
 AG 32.15
 AC 31.12
 TA 33.28
 TT 38.90
 TG 41.41
 TC 41.31
 GA 41.31
 GT 31.12
 GG 34.96
 GC 38.50
 CA 41.41
 CT 32.15
 CG 32.91
 CC 34.96
 //

Карточка БД *Property*

HN SCI00001
 HH Ponomarenko Mikhail Pavlovich, Ph.D.
 CV http://wwwmgs.bionet.nsc.ru/mgs/info/pon_mp/
 HP +7-3832-333-119
 HF +7-3832-331-278
 HE pon@bionet.nsc.ru
 HL Laboratory of Theoretical Molecular Genetics
 HI Institute of Cytology and Genetics
 HD Siberian Branch
 HM Russian Academy of Science
 HC Russia
 HA 10 Lavrentyev Ave., Novosibirsk, 630090, Russia
 WW <http://wwwmgs.bionet.nsc.ru/Programs/acts2/>
 WW <http://cl.sdsc.edu/>
 WW <http://www.bionet.nsc.ru/SRCG/Activity/>

38 карточек, создана в 1997
году М.П и Ю.В. Пономаренко



Coordinate frame

Twist(Ω)



Система B-DNA Video

Система B-DNA Video: программа Property plot

DNA Property Plot

Input DNA Sequence :

from Screen:

from DB:

Bases Available: EMBL by ID from Heidelberg (SRS5)

from File:

[Browse...](#)

[File formats here.](#)

Choose Property: Twist

Start Position : 1

End Position All

Window Size 3

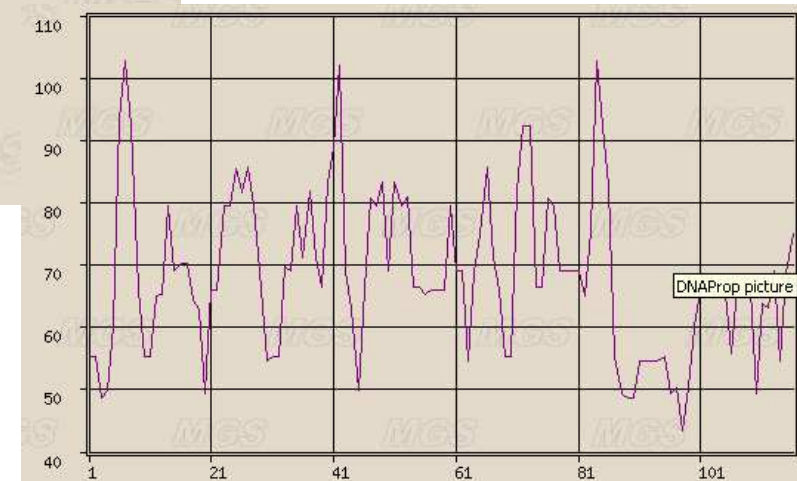
[Execute](#)

[Reset form](#)

[About](#)

Результат анализа участка промотора
вблизи старта транскрипции по
величине температуры плавления

Интерфейс Internet –
доступной программы
для построения
профилей
конформационных и
физико – химических
свойств
последовательностей
ДНК





Система B-DNA Video

Система B-DNA Video: База данных SAMPLES

Карточка БД SAMPLES

Содержит 80 выборок сайтов связывания ТФ и других биологически значимых последовательностей

FI AP-1
NM The sample of AP-1 (PEA1; (Jun)2; AP1; Fos/Jun; yAP1; PAR1; PDR4; SNQ3)
NM transcription factor DNA binding sites with flanks
NM (based on TRANSFAC and EMBL databases).
NM The sample contains 69 sequences.
NM The sites with the location determined experimentally
NM are taken into account. (Please, pay attention to the fields MM and BF
NM in the SITE tables of TRANSFAC database. They contain
NM the name of the method and the parameter quality of the site.)
NM The sites are aligned relative to the centers of the
NM TRANSFAC sequence regulatory elements (the field SQ
NM in the SITE table of TRANSFAC database)
NM so that the total length of the sequences was equal to 120 bp.
OR Institute of Cytology and Genetics, Novosibirsk, Russia
AU Julia Ponomarenko
DA 19-SEP-1997
LU 21-JUL-1998; Julia Ponomarenko
ST {0,0} ; AP-1 binding site; AP-1.
FV 1.0
WA Aligned: [AP-1](#)
WF Features: [AP-1](#)
WW http://wwwmgs.bionet.nsc.ru/programs/acts2/images/FOS_JUN.html

ID AP_10001; DNA
AC AP_10001
OS Simian virus 40
OC Viruses; dsDNA viruses, no RNA stage; Papovaviridae; Polyomavirus.
DR TRANSFAC; R01385; SV\$SV40_17; 3.2;
DR EMBL; V01380; SV40XX; ; join(57..176)
FT {0,0} [57;64] direct; EXP
FT {0,0} [58;66] direct; GBS
FT {0,0} [58;63] reverse; RCG
SQ ggaactgggc ggagtttaggg gcgggatggg cggagttagg ggcgggacta tgggttgctga
ctaattgaga tycatgtttt gcataactttc gcctgctggg gagccctgggg actttccaca
//
ID AP_10002; DNA
AC AP_10002
OS Simian virus 40
OC Viruses; dsDNA viruses, no RNA stage; Papovaviridae; Polyomavirus.
DR TRANSFAC; R01394; SV\$SV40_26; 3.2;
DR EMBL; V01380; SV40XX; ; join(129..248)



Система B-DNA Video

Система B-DNA Video: База данных SAMPLES

Описание формата БД SAMPLES

key	description
ID	identification
AC	accession number
DT	date
DE	description
KW	keyword
OS	organism species
OC	organism classification
OG	organelle
RN	reference number
RC	reference comment
RP	reference positions
RX	reference cross-reference
RA	reference author(s)
RT	reference title
RL	reference location
DR	database cross-reference
FT	site description
CC	comments or notes
SQ	sequence header
bb - (blanks)	sequence data
//	termination line





Система B-DNA Video

Система B-DNA Video: База данных FEATURES



БД B-DNA-FEATURE содержит данные по тем конформационным и физико – химическим свойствам, которые значимо отличаются от значений свойств для случайных выборок. Анализируемые выборки были взята из БД SAMPLES

Каждый вход B-DNA-FEATURE соответствует значимым конформационным и физико – химическим особенностям (features) сайта. Эти матрицы были вычислены на основе данных БД PROPERTY. Только 50% анализируемой выборки было использовано для расчета матрицы. Каждая найденная особенность была использована для написания С-кода распознающей программы и код сохранен во ссылке [C-CODE](#) каждого входа базы. С-код для среднего распознавания ([Mean Recognition](#)) был также включен в каждый вход.

Оставшиеся 50% выборки были использованы для КОНТРОЛЯ. Контрольные результаты тестирования каждой программы были сохранены в полях [ST](#) (Means, Standard Deviation, False Negatives for Control Sequences), [NT](#) (Means, Standard Deviation, False Positives for Random Sequences), and [FG](#) (Graphical Representation of Test Results).



Система B-DNA Video

Система B-DNA Video: База данных FEATURES



Format description

MI Entry ID

MN Site Name

HN SCIENTIST

DR SRS-links

WW Web-link to Recognition Tools

DP Link to PROPERTY database

PV Property Name

HL Feature Indicator

AB Analyzed Region

UT Utility

ST Means, Standard Deviation, False Negatives for Control Sequences

NT Means, Standard Deviation, False Positives for Random Sequences

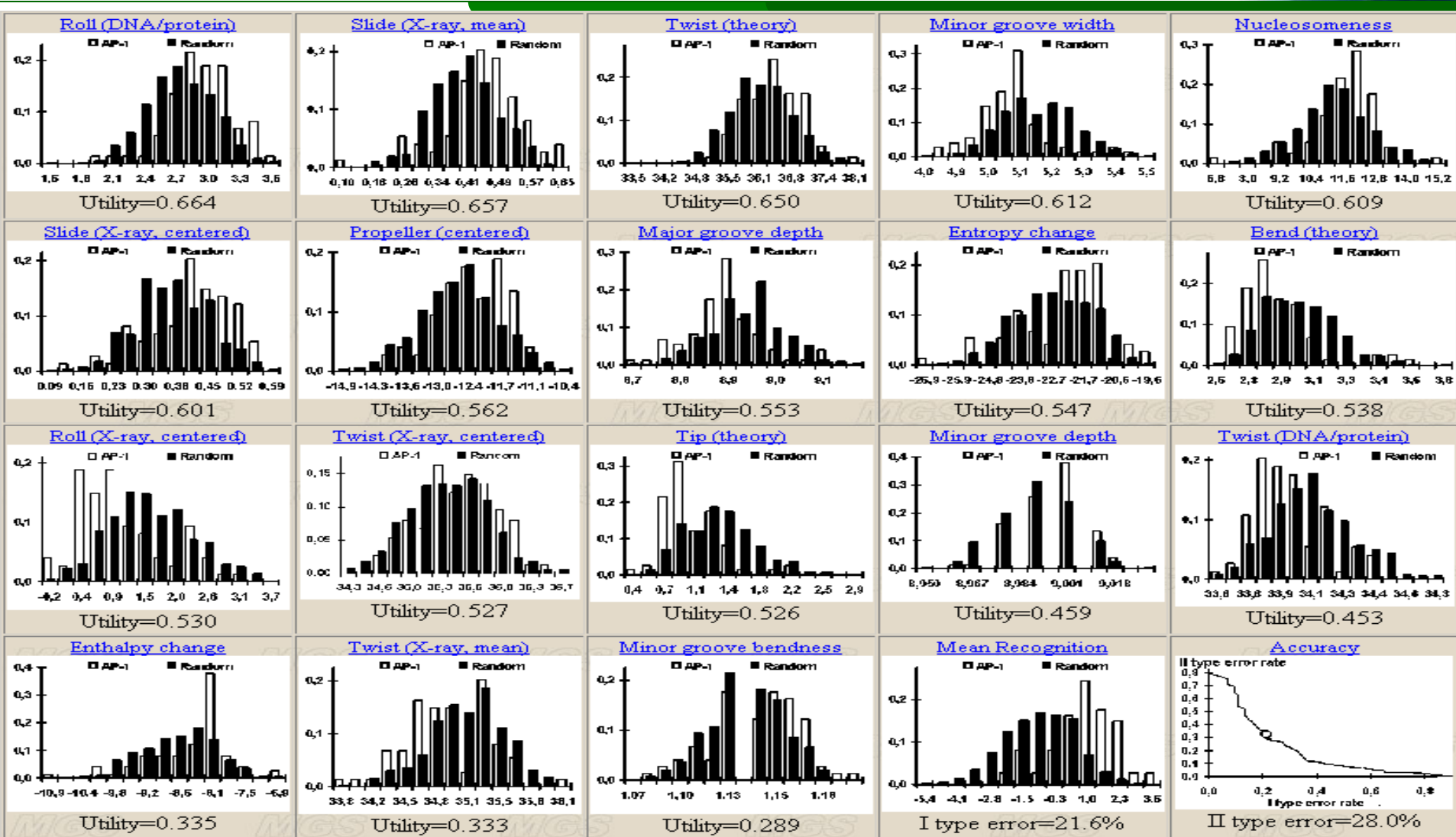
FG Graphical Representation of Test Results

C-CODE



Система В-DNA Video

Система В-DNA Video: База данных FEATURES





Система B-DNA Video

Система B-DNA Video: База данных FEATURES

Интерфейс Internet –
доступной программы
для распознавания
сайта связывания ТФ
AP-1 по значимым
конформационным и
физико – химическим
особенностям из БД
FEATURES – карточка
БД B-DNA PROFILES

AP-1 transcription factor binding DNA-region

Input DNA Sequence :

from Screen:

from DB:

from File:

Bases Available:

SRS5 from Heidelberg (EMBL) by ID

▼

[Browse...](#)

[File formats here.](#)

[Execute](#)

[Reset form](#)

Select one of the B-DNA Features listed below to analyse the Sequence inputted:

- AP-1 has Highest Twist (theory)
- AP-1 has Lowest Bend (theory)
- AP-1 has Lowest Tip (theory)
- AP-1 has Lowest Major groove depth (theory)
- AP-1 has Lowest Minor groove width (theory)
- AP-1 has Highest Minor groove depth (theory)
- AP-1 has Lowest Twist (X-ray, averaged)
- AP-1 has Highest Slide (X-ray, averaged)
- AP-1 has Highest Roll (DNA/protein)
- AP-1 has Lowest Twist (DNA/protein)
- AP-1 has Highest Probability to be contacting nucleosome core
- AP-1 has Highest Mobility to bend towards Minor groove
- AP-1 has Highest Twist (X-ray, centered)
- AP-1 has Lowest Roll (X-ray, centered)
- AP-1 has Highest Slide (X-ray, centered)
- AP-1 has Highest Propeller (X-ray, centered)
- AP-1 has Highest Enthalpy change
- AP-1 has Highest Entropy change
- AP-1 has the Positive Mean B-DNA-Score



Локальные конформационные и физико- химические свойства ДНК важны при взаимодействии ДНК с белком

Сайты связывания транскрипционных факторов (ССТФ) – это участки ДНК длиной 5-25 п.н., с которыми связываются транскрипционные факторы.

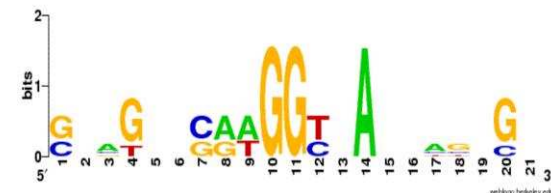
```
ggagtTCAAGGTAAataagggc
ccagatCATGGCTAggtgaga
gaggggggAGGTCAacactcc
ctagcggtGGCTAcgagagg
gtctcCCAAGGTCAtccttgt
```



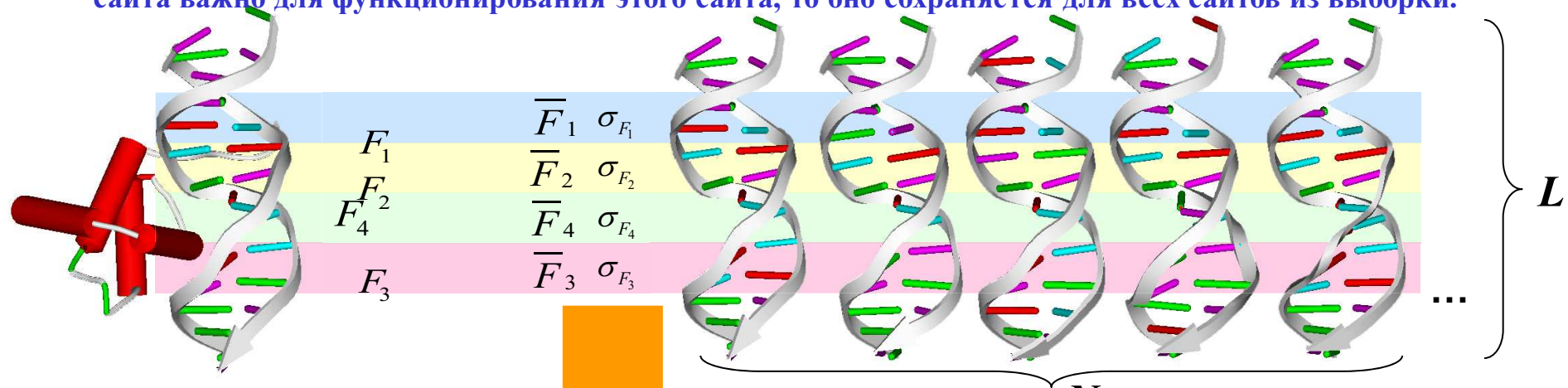
Консенсус: nBSRWGGYAn

Матрица встречаемости:

A	1	0	0	3	3	0	0	0	5	1
T	1	2	0	0	2	0	0	3	0	2
G	1	2	2	2	0	5	5	0	0	1
C	2	1	3	0	0	0	0	2	0	1



Предполагается, что если значение конкретного свойства ДНК в определенном участке последовательности сайта важно для функционирования этого сайта, то оно сохраняется для всех сайтов из выборки.



$$\bar{F}_{il} = \frac{1}{N} \sum_{k=1}^N F_{ikl}$$

$$\sigma^2_{F_{il}} = \frac{1}{N-1} \sum_{k=1}^N (F_{ikl} - \bar{F}_{il})^2$$



SITECON: метод выявления консервативных конформационных и физико-химических свойств ДНК

Выравнивание сайтов

Сопоставление каждому динуклеотиду определенной величины конформационного или физико-химического свойства F_i

Оценка среднего \bar{F}_i и дисперсии σ_{F_i} для каждого свойства F_i в каждой позиции k выравнивания

Оценка с помощью критерия χ^2 консервативности σ_{F_i} каждого свойства i в каждой позиции k в сравнении со случайными последовательностями.

На диаграмме размер блока соответствует уровню значимости, а цвет – отклонению от среднего для случайных последовательностей

$$\bar{F}_{show} = \frac{\bar{F}_{il} - \bar{F}_{rand}}{\sigma_{rand}}$$

tcaatccctg ggtttgc...
acagcttagaa ttgtctc...
cttccagatt cctgagagg...
tgcccttccta tcactgaata ...

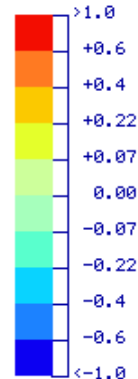
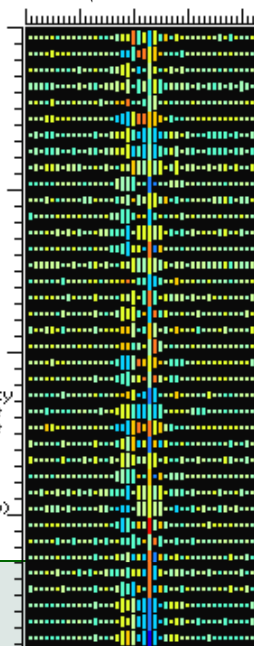
1.2, 1.4, 2.1, 3.1, 1.6, 1.8, 2.5, ...
2.3, 3.1, 3.7, 3.2, 1.8, 1.2, 2.1, ...
1.3, 3.1, 2.6, 2.4, 1.6, 2.3, 1.3, ...
2.8, 1.4, 2.6, 1.8, 3.2, 1.5, 2.1, ...

$$\bar{F}_i = \frac{1}{N} \sum_k F_{ik}, \quad \bar{\sigma}_{F_i} = \sqrt{\frac{1}{N-1} \sum_k (F_{ik} - \bar{F}_i)^2}$$

Свойство

- 1 Twist (averaged)
- 2 Rise (averaged)
- 3 Bend (averaged)
- 4 Tip (averaged)
- 5 Inclination (averaged)
- 6 Major groove Width
- 7 Major groove Depth
- 8 Minor groove Width
- 9 Minor groove Depth
- 10 Roll (Free DNA)
- 11 Twist (Free DNA)
- 12 Tilt (Free DNA)
- 13 Slide (Free DNA)
- 14 Roll (DNA/protein)
- 15 Twist (DNA/protein)
- 16 Tilt (DNA/protein)
- 17 Slide (DNA/protein)
- 18 Twist (Regressed X-rays)
- 19 Wedge (Regressed X-rays)
- 20 Direction (Rgr. X-rays)
- 21 Persistence length
- 22 Melting Temperature
- 23 Nucleos. cont. probability
- 24 Bend towards Major groove
- 25 Bend towards Minor groove
- 26 Twist (Averaged X-ray)
- 27 Tilt (Averaged X-ray)
- 28 Roll (Averaged X-ray)
- 29 Slide (Averaged X-ray)
- 30 Propeller (Averaged X-ray)
- 31 Minor groove size
- 32 Minor groove distance
- 33 Major groove size
- 34 Major groove distance
- 35 Clash strength
- 36 Enthalpy change
- 37 Entropy change
- 38 Free Energy change

Позиция



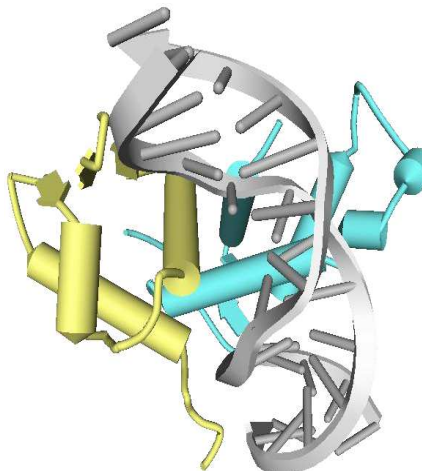
Цвета элементов отражают отклонение среднего значения свойства от его среднего значения для случайных последовательностей.
Размер элемента соответствует уровню достоверности консервативности свойства



Анализ сайтов связывания E2F/DP

Выборка 40 сайтов связывания гетеродимера E2F/DP длиной 49 п.н. были взяты из базы данных TRRD

ТФ E2F участвуют в регуляции генов клеточного цикла млекопитающих.
Связываются с ДНК в форме гетеродимеров E2F/DP.



ggggggcgggggccggccacaaTTTCGGCCCCAAActtaccgcgcgttcgc
gctcgccggctcgctgcTTTCGGCGCAAAaaggatttggcgcgtaaa
tctttcgccgcaaaaaggatTTTGGCCGCGTAAagggggccggactttgc
acgtcccccgactgcagatTTTCGGCGCCTTggggcaggggtgttgtgg
acgtcccccgactgcagatTTTCGGCGCCTTggggcaggggtgttgtgg
gccaatggcccgcgttcttTTTCGGCGCCAGCagactgtctataaaatgcg
ttttacgcgccaatcttTTTGCCGCGAAAgagcacgcgcgcgcgaa
tctttcgccgcaaaaaggatTTTGGCCGCGTAAagggggccggactttgc
atcagaatcgaggcgggcTTTGGCGGGAGGTggggacgcgtgtggccat
aacgcgtgtggccatccggatTTTGGCGCGAGCgcgcgtggggatgtgc
tccatccggtagcgacgcTATCCCGCGCCTtttaaagcacttgcgtt
gtacacagagaatgttacatTTTCGGCGCGTtttgcggatgttgttagt
tcacttccttttgcgtttagtTTTCCCAGAAGatgcggccatcttactcg
cgccgcgcaggatgtttaaaTGTCCCAGCTGaggcgggcgcaggagcag
aaaaaaagaacggaggaggGATCGCGCTGAGTataaaagccgggtttcg
gggaccaggaggagggtttTTTGCCGCGAAAgaccacgtggggacgcgc
tcacagaaaccacttctaTCTCCCGCCAAGTgcgtcgccgcgcgcgc
ctgctgcgcgaacctgtttTTTCGGCGCCAAAGtgcacaatgcgggtgtg
acacagctcagggtcgatTTTCGGCGCCAAActtgcggccaaatcttag
tttcaattatcggtcgatTTTCCCAGAAGatagcagtcatttaa
gtagctcgatgttgcgtatGTTCCCAGCTTccgcgttgcgcgcgcgc
ttatcgatgttccgcgttccgcgttccgcgttccgcgttccgcgttcc
ccggggccggatgtgcgtttTTTCCCAGCTTccgcgttccgcgttccgc
cagccggccggatgtgcgtttTTTCCCAGCTTccgcgttccgcgttccgc
gctgactttaaggacttagTTTCGGCGCCCTTtctcaatattaagcgcga
ccctcgctgtcccgccgtTTTGGCGCCCGCgcgcgcgcgcgcgc
gcactgcaggggccagaTTTGGCGGGAGGggggatgtccaaagctct
gcgcgcgttagccaaagcgTTTGGCGGGTTTtctgtgtgtgtgc
gccatccggtagcgacgcTATCCCGCGCCTttcaagcacttgcgtt
gatccctccctccgttctttTTTCCCAGCTTccgcgttccgcgttcc
aaattttgtttcaatTTTGGCGCCACTtatttagatattcaatat
tgccgcgtgtttacagttTTTGGCGCAATTccacccgtggcgittcc
tgccgcgtgtttacagttTTTGGCGCAATTccacccgtggcgittcc
cgccatgcgcgcggcggtttTGCGGGAGGcgccgggggggggg
gggtttgaatcaactgcgcgtTTTCCCAGCTTccgcgttccgcgtt
caattacaatctatctaaaATTCCCAGCTTccgcgttccgcgtt
ccgctggagatgcgtgtttTTTGGCGCTTAAttggaaaaggggcgca
tctgtttcgatgttcaagTATCCCGCGACTtattggaaaatggaccaatga
cgccgcgcaggatgttcaatTTTGGCGCGTCTGaggcggccgcaggagcag
atgggtgaatccggggccctTAGCGCGGTGagggttggaaaactgtcgca





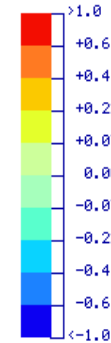
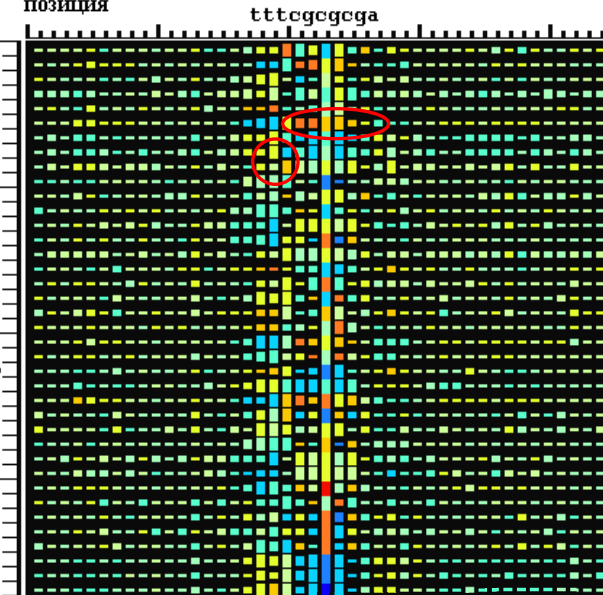
Анализ консервативных контексто – зависимых свойств ДНК сайтов связывания E2F/DP

gggggcggggcgccacaaTTTCGCGCCAAActtggcggcgcttcgtgc
 gctggcggtcggtgctcTTTCGCGCGAAAgaggattttggcgctgtaaa
 ttttcgcggaaaaaggTTTGGCGCGTAaagtggccggactttgc
 acgtcccccgagctcgatTTTCGCGCGCTTggcgcgagtgggttg
 acgtcccccgagctcgatTTTCGCGCGCTTggcgcgagtgggttg
 gccaatggcccagttttTTTCGCGGCCAGcagctgtataaaaatgc
 ttttacgcgccaaatctttTTTCGCGCGAAAgaggccacgcgcgcggaa
 ttttcgcggaaaaaggTTTGGCGCGTAaagtggccggactttgc
 atcagaatcgaggccggcTTTGGCGGGAGGtggaaacgtgtggccat
 aacgctgtggccatcgatTTTGGCGCGAGCggcgctggagttgtgc
 tccatccggtagcgcacgcTATCCCGCGCTTttcaagactttcgtt
 gtacacaggaaagtgtacaatTTTCGCGCGGTttagccggatgttgtagt
 tcacttcgtttttttactgtTTTCGGCGAAAtggccaaatcttactcg
 cgcgcgcgggataaaaTGTCGGCGCTCTGagccggcgccaggagcag
 gaaaaagaacgggggaggGATCGCGCTGAAGtataaaaaggcggtttcg
 gggaccaggaggaggTTTGGCGCGAAAgaccacgtggggacgcg
 tcacagaaccacttcctaTCTCCCGCCAAgtgcgtcgccgcggcccg
 ctgtgcgcgaacctgttTTTCGCGCAAAGtcacaagcggtggtg
 acacagctcaggctgcgaTTTCGCGCAAActtgcggcaaattcttag
 tttcaattatcaggctggaTTTCGCGCAAAtatatagcagtcatttaa
 gtagctctgttatcgatATTCGGCCATTccgcgttgcatttcctc
 ttatcgatatgtttccgcctATTCGGCTTGTcatccctcatccctgg
 ccgcggggcggaaatgcgtTTTCCCGGGTTggacgcggcgctcaggtt
 cagggccggggcgaatgcataTTTCGCGCAAActttggggaaacacgcg
 gtcgacttttaaggactagTTTCGCGCCCTTtcttcaattaaagcgcg
 cccctcgctgtcccgcgTTTGGCGCCCGCgcggccatccccctcgcc
 gcaactgcagggccgcagaTTGGGGGAGGggggatgtccaaactct
 ggcgcgcgtggcaaaacgcgtTTGGGGGGTTTtccgtgtgtgcct
 gccatccggtaggcacgtTTGGGGGGTTTtccgtgtgtgcct
 gatccctccctccgttcttcttgcgttttttttttttcaagacttt
 aaatttttgattttttttttttttttttttttttttttttttttttt
 tgccgcgtgtttacagtttttttttttttttttttttttttttttt
 tgccgcgtgtttacagtttttttttttttttttttttttttttttt
 cggcatgcggccggggcgTTTCGCGCCCTTgcgttttttttttttt
 ggttttgaatcactgcgtTTTCGCGCCCTTgggttttttttttttt
 caatttttttttttttttttttttttttttttttttttttttttttt
 tttttttttttttttttttttttttttttttttttttttttttttt
 ccgtggagatgacttttttttttttttttttttttttttttttt
 ttttttttttttttttttttttttttttttttttttttttttttt
 ttttttttttttttttttttttttttttttttttttttttttttt
 tttttttttttttttttttttttttttttttttttttttttttt
 tttttttttttttttttttttttttttttttttttttttttttt
 tttttttttttttttttttttttttttttttttttttttttttt
Ширина большой бороздки
Ширина малой бороздки

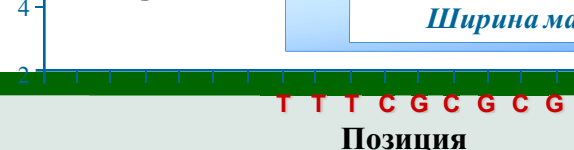
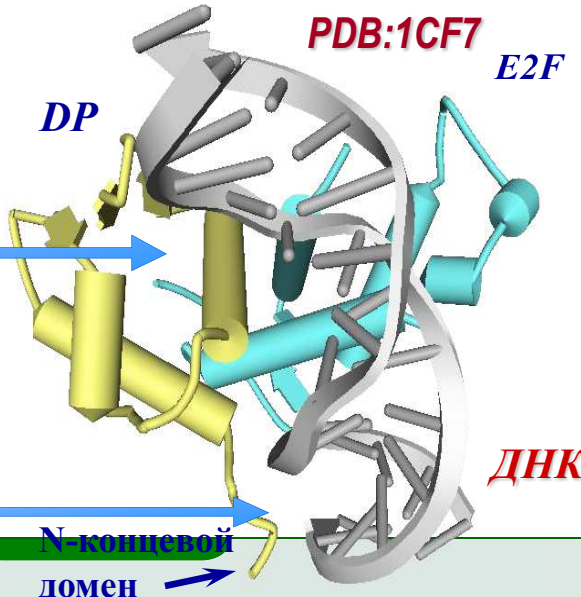
Свойство

- 1 Twist (averaged)
- 2 Rise (averaged)
- 3 Bend (averaged)
- 4 Tip (averaged)
- 5 Inclination (averaged)
- 6 Major groove Width
- 7 Major groove Depth
- 8 Minor groove Width
- 9 Minor groove Depth
- 10 Roll (Free DNA)
- 11 Twist (Free DNA)
- 12 Tilt (Free DNA)
- 13 Slide (Free DNA)
- 14 Roll (DNA/protein)
- 15 Twist (DNA/protein)
- 16 Tilt (DNA/protein)
- 17 Slide (DNA/protein)
- 18 Twist (Regressed X-rays)
- 19 Hedge (Regressed X-rays)
- 20 Direction (Regr. X-rays)
- 21 Persistence length
- 22 Melting Temperature
- 23 Nucleos. cont. probability
- 24 Bend towards Major groove
- 25 Bend towards Minor groove
- 26 Twist (Averaged X-ray)
- 27 Tilt (Averaged X-ray)
- 28 Roll (Averaged X-ray)
- 29 Slide (Averaged X-ray)
- 30 Propeller (Averaged X-ray)
- 31 Minor groove size
- 32 Minor groove distance
- 33 Major groove size
- 34 Major groove distance
- 35 Clash strength
- 36 Enthalpy change
- 37 Entropy change
- 38 Free Energy change

позиция



Цвета элементов отражают отклонение среднего значения свойства от его среднего значения для случайных последовательностей. Размер элемента соответствует уровню достоверности консервативности свойства





Исследование сайтов связывания двух представителей класса MADS белков (SRF и MCM1). Анализ сходства и различия выявленных конформационных особенностей

SRF (- 13 посл. ССТФ, 42 п.н.)

MCM1 (61 посл. ССТФ, 25 п.н.)

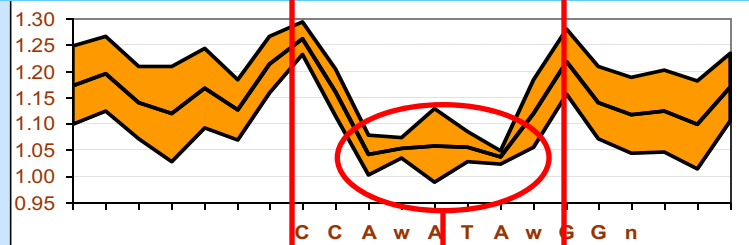
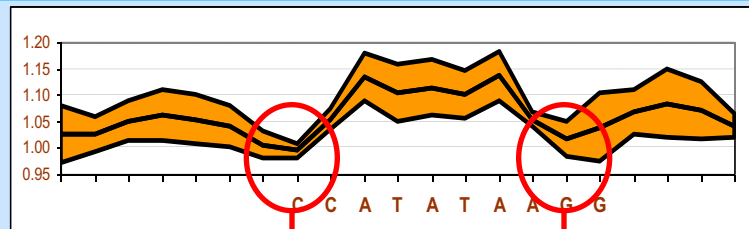
ДНК-связывающие домены
этих ТФ обладают сходством
– более 70%, их ДСД
содержит консервативный
район длиной 56 а.о.,
называемый **MADS-бокс**.

**Изгибная
жесткость:**

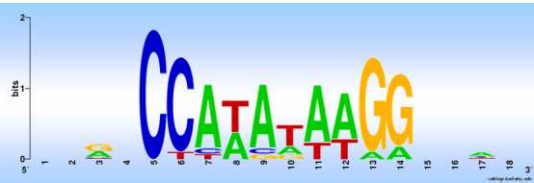
▪ в сторону
большой
бороздки

▪ в сторону
малой
бороздки

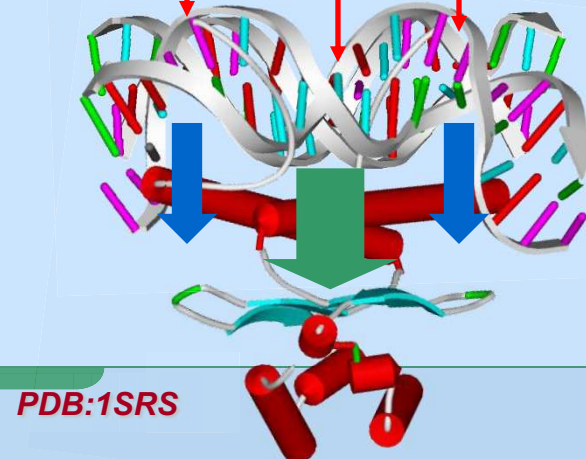
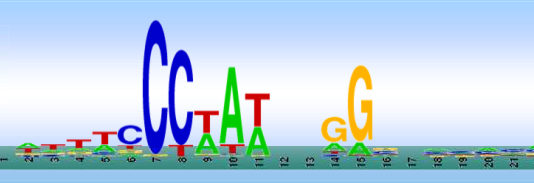
SRF



SRF:



MCM1:

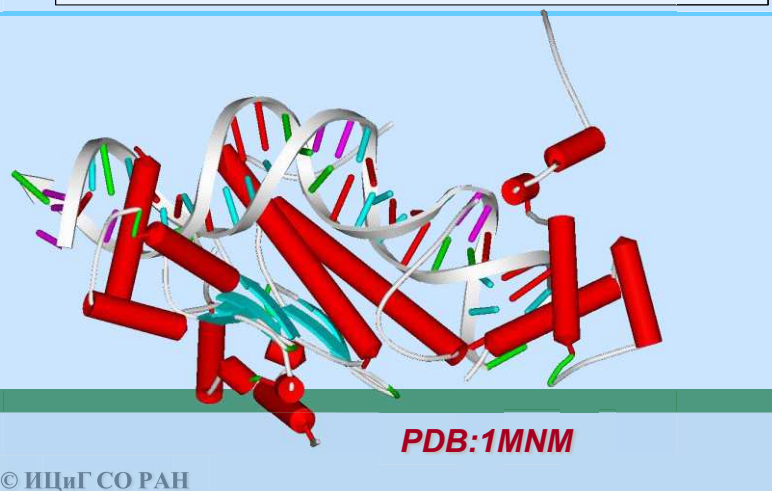
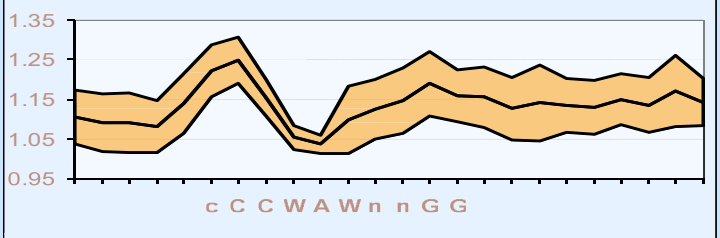
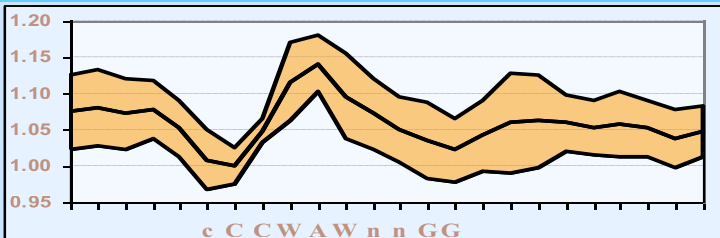
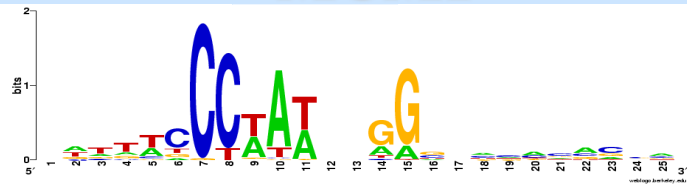


PDB:1SRS

Исследование сайтов связывания двух представителей класса MADS белков (*SRF* и *MCM1*). Анализ сходства и различия выявленных конформационных особенностей

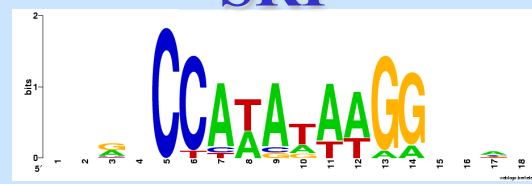


MCM1



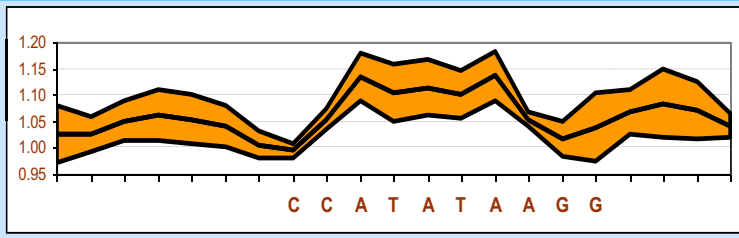
PDB:1MNM

SRF

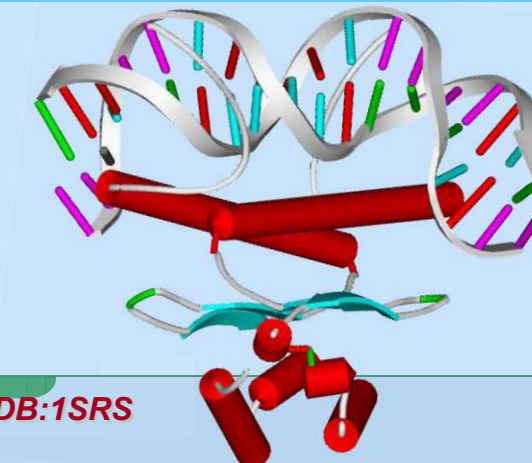
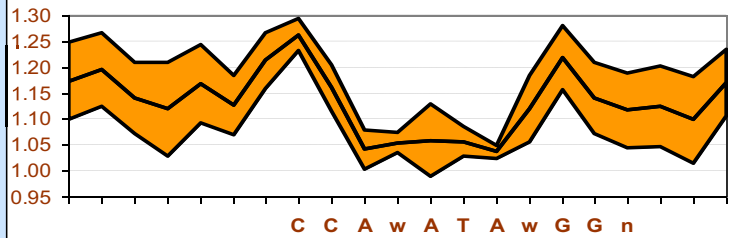


Изгибная
жесткость:

- в сторону
большой
бороздки



- в сторону
малой
бороздки



PDB:1SRS



Распознавание сайтов связывания транскрипционных факторов по их значимым конформационным и физико-химическим характеристикам

Вероятность P_{il} i -го свойства в позиции l анализируемой последовательности принять требуемое для функционирования значение F_{il} , характерное для выборки сайтов данного типа при значении F_{il} соответствует распределению Гаусса

$$P_{il} = \frac{1}{\sqrt{2\pi}(\sigma_{F_{il}} + \sigma_{err}^i)} \exp\left[-\frac{1}{2}\left[\left(\overline{F}_{il} - F_{il}\right)/(\sigma_{F_{il}} + \sigma_{err}^i)\right]^2\right]$$

Величина конформационного сходства P_{Σ} это сумма всех P_{il} для всех позиций l и всех свойств i :

$$P_{\Sigma} = \sum_{i=0, l=0}^{I, L} \delta_F P_{il} = \sum_{i=0, l=0}^{I, L} \frac{\delta_{il}}{\sqrt{2\pi}(\sigma_{F_{il}} + \sigma_{err}^i)}$$

где $\delta_{il} = 1$, если σ_{err}^i значимо мало,
иначе $\delta_{il} = 0$, σ_{err} поправочный параметр

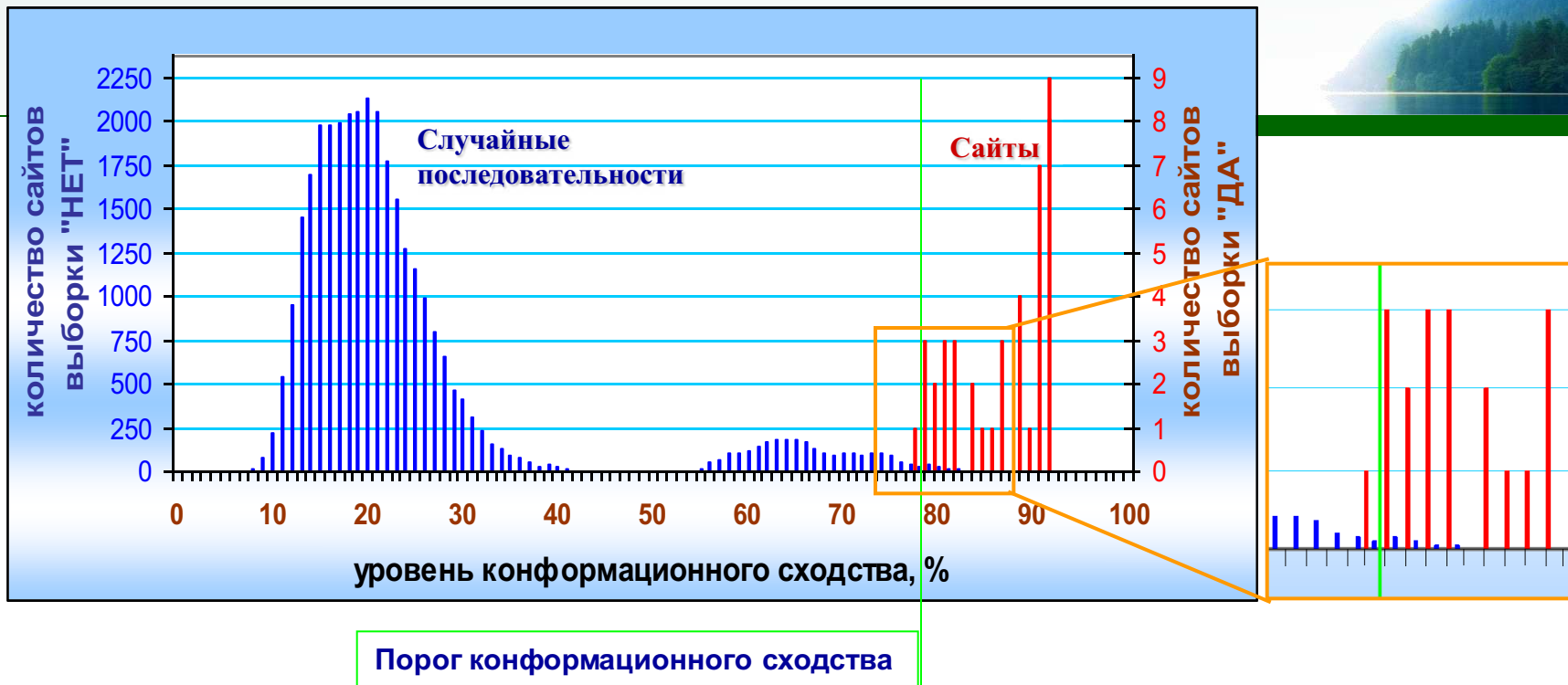
анализируемая
последовательность

ggactcctgcctgtccctgcggcatgcgacagccctcgatgtct

\overline{F}_{il}
 $\sigma_{F_{il}}$

?

F_{il}



Ошибка I рода рассчитывается с применением подхода Jack-knife. Процедура включает в себя последовательное распознавание одной последовательности из обучающей выборки на основе обучения по выборке, не включающей распознаваемый сайт.

Ошибка II рода рассчитывается путем распознавания сайтов в последовательности длиной 1000000 п.о., сгенерированной путем многократного случайного перемешивания нуклеотидов обучающей выборки

Таблица ошибок распознавания ССТФ E2F/DP методом SITECON

Порог конформационного сходства	77%	78%	79%
Ошибка I рода (недопредсказание)	32.5%	35%	45%
Ошибка II рода (перепредсказание)	$2.1 \cdot 10^{-4}$ (1/4760)	$1.25 \cdot 10^{-4}$ (1/8000)	$7.5 \cdot 10^{-5}$ (1/13300)



Распознавание сайтов связывания транскрипционных факторов по их значимым конформационным и физико-химическим характеристикам

$$\overline{F}_{il} = \frac{1}{N} \sum_{k=1}^N F_{ikl} \quad \sigma_{F_{il}}^2 = \frac{1}{N-1} \sum_{k=1}^N (F_{ikl} - \overline{F}_{il})^2$$

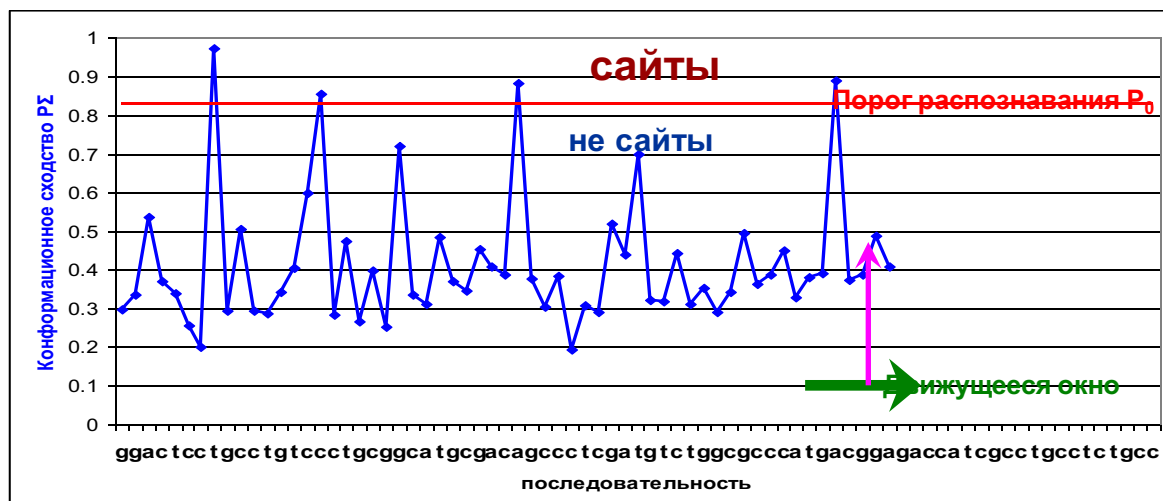
Величина конформационного сходства P_{Σ} =

$$\sum_{i=0, l=0}^{I, L} \delta_{il} \frac{1}{\sqrt{2\pi(\sigma_{F_{il}} + \sigma_{err})}} \exp(-((\overline{F}_{il} - F_{il}) / (\sigma_{F_{il}} + \sigma_{err}))^2)$$

где $\delta_{il} = 1$, если $\sigma_{F_{il}}$ значимо мало, иначе $\delta_{il} = 0$

$$\sum_{i=0, l=0}^{I, L} \delta_{il}$$

cacaaTTTCGCGCCAAActt
ggctcTTTCGCGGCCAAag
aaggatTTTGGCGCGTAAag
cagatTTTCGCGCGCTTtgg
cagatTTTCGCGCGCTTtgg
ttcttTTTCGCGGCCAGcag
tccttTTTGCCGCCGAAAgag
aaggaTTTGGCGCGTAAag
cgggcTTTGGCGGGAGGtgg
tcggaTTTGGCGCGAGCgcg
cacgcTATCCCCGCCCTttt
acaatTTTCGCGCGGTTta
tcagtTTTCCC CGCGAAAatg
ttaaaTGTCCCCGCTCTGagc
ggaggGATCGCGCTGAGtat
ggtttTTTGCCGCCGAAaga
tcctaTCTCCCCGCCAAAGtgc
tgcttTTTCGCGCCAAAGtgc



ggactcctgcctgtccctgcggcatgcgacagccctcgatgtctggcgccccatgacg

Выбор порога распознавания сайтов связывания SF-1

SF-1 (Steroidogenic factor 1)
является одним из ключевых
регуляторов экспрессии генов
системы стероидогенеза
млекопитающих

**Нуклеотидные
последовательности 54 сайтов
связывания
транскрипционного фактора
SF-1 длиной 93 п.н. были взяты
из базы данных TRRD**

Для выбора порога распознавания
ССТФ SF-1 было проведено его
распознавание в промоторных
районах 5-ти функциональных
групп генов.

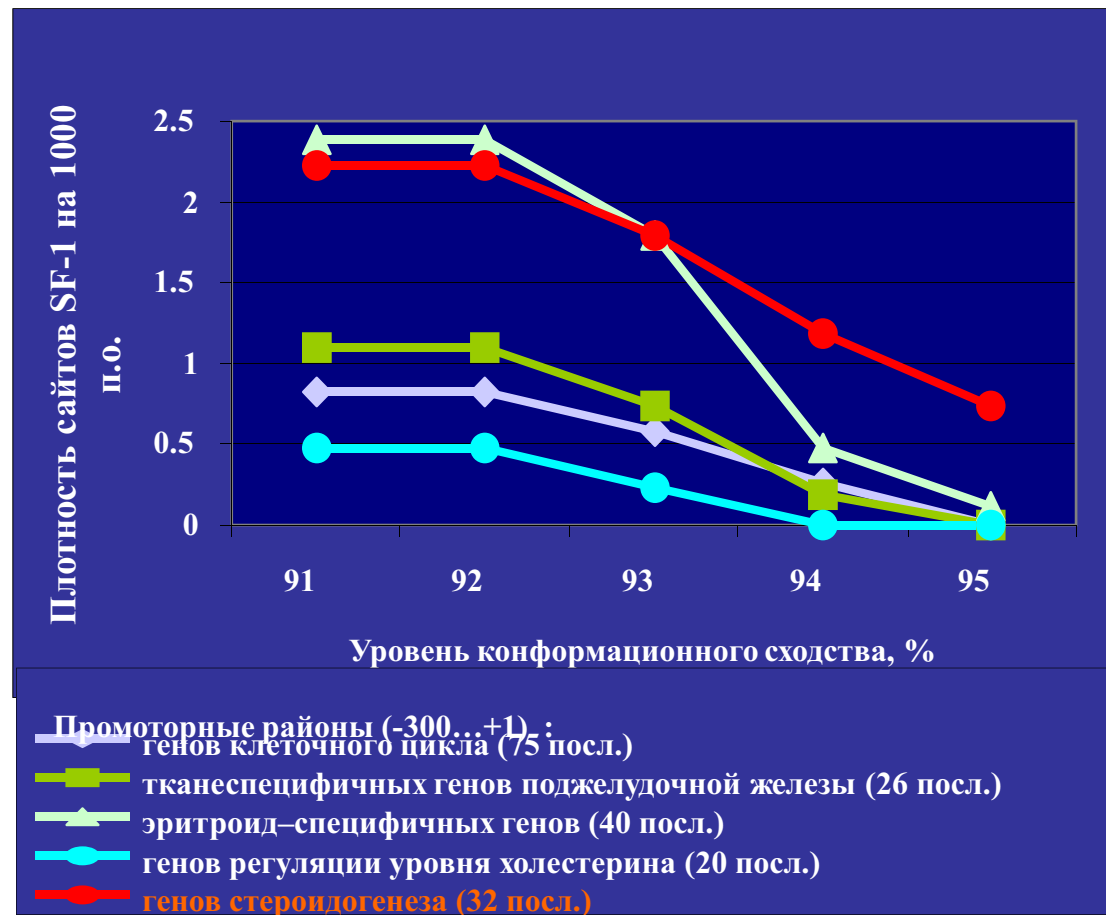


Таблица ошибок распознавания ССТФ SF-1 методом SITECON

Уровень конф. сходства	92%	93%	94%	95%
Недопредсказание	0.30	0.39	0.56	0.70
Перепредсказание	7.31E-04 (1/1368)	5.22E-04 (1/1915)	2.23E-04 (1/4484)	6.97E-05 (1/14347)



Распознавание сайтов связывания SF-1

а) Исследованы промоторные районы (-500...+1) 32-х генов стероидогенеза, где экспериментальный поиск сайтов связывания SF-1 еще не проводился. Выявлено 15 новых сайтов связывания SF-1

б) Исследованы промоторные районах генов уже содержащих экспериментально выявленные сайты. Выявлено дополнительно 3 новых сайта связывания.

	Название гена (вид)	Позиция*	P**	Экспериментальное подтверждение
	а			
1	<i>Cyp17</i> (Mouse)	-283	0.944	+
2	<i>Cyp17</i> (Mouse)	-49	0.949	+
3	<i>Ad</i> (Bovine)	-428	0.962	+
4	<i>Cyp11B1</i> (Guinea pig)	-126	0.945	+
5	<i>Cyp11B3</i> (Rat)	-309	0.945	+
6	<i>Cyp11B1</i> (Sheep)	-337	0.947	+
7	<i>Oxt</i> (Mouse)	-164	0.966	+
8	<i>Oxt</i> (Rat)	-167	0.962	+
9	<i>Oxt</i> (Human)	-159	0.961	+
10	<i>Cyp11B2</i> (Rat)	-324	0.951	+
11	<i>HSD3b</i> (Mouse)	-113	0.942	+
12	<i>Ad4BP/SF-1</i> (Mouse)	-224	0.952	+
13	<i>CYP17</i> (Porcine)	-51	0.946	+
14	<i>HSD17B1</i> (Rat)	-84	0.941	+
15	<i>LH beta</i> (Porcine)	-114	0.959	+
	б			
16	<i>CYP17</i> (Human)	-44	0.944	+
17	<i>CYP17</i> (Rat)	-309	0.944	+
18	<i>LHbeta</i> (Ss)	-58	0.928	+

* Позиция указана относительно старта транскрипции

** Уровень конформационного сходства с известными сайтами связывания SREBP, оцененный методом SITECON

Экспериментальная проверка проводилась методом задержки комплекса ДНК/белок в геле (EMSA) с использованием экстракта ядер клеток семенников крыс и специфических антител к SF-1 в лаборатории регуляции экспрессии генов ИЦиГ СО РАН.

Распознавание сайтов связывания SREBP

ТФ SREBP участвуют в регуляции экспрессии генов липидного метаболизма и биосинтеза холестерина.
38 нуклеотидных последовательностей ССТФ SREBP SRE-типа длиной 40 п.н. были взяты из БД TRRD.

Исследованы промоторные районы (-500...+1) 46 генов липидного метаболизма.
Выявлено 50 новых сайтов связывания SREBP (уровень конформационного сходства >73%)
15 из них было отобрано для экспериментальной проверки *in vitro*

Распределение значений конформационного сходства для положительной и отрицательной выборок



Таблица ошибок распознавания ССТФ SREBP методом SITECON

Уровень конф. сходства	73%	74%	75%	76%
Недопредсказание	0.53	0.58	0.61	0.63
Перепредсказание	7.55E-04 (1/1324)	5.65E-04 (1/1769)	4.15E-04 (1/2409)	3.20E-04 (1/3124)



Распознавание и результаты экспериментальной проверки сайтов связывания SREBP

Название гена (вид)	Пози- ция*	Ориента- ция	P**	Последовательность CCTФ	Эксперимен- тальное подтверждение
A) Потенциальные SRE, имеющие уровень конформационного сходства более 73%					
1. <i>MSR</i> (человек)	-439	+	0.750	GGACCATGAGGTCAAGGGATCAAGACATC	+
2. <i>MSR</i> (человек)	-303	+	0.778	GAGATCACCACTGCACTCCACCCCTGGTG	+
3. <i>MSR</i> (человек)	-164	-	0.796	AGATAACTCACTTTCACCCCCATTAGGCC	+
4. <i>SCAP</i> (человек)	-311	+	0.777	TCTCCCCCGTCACACCAGGGGCCGCGGA	+
5. <i>FAS</i> (цыпленок)	-484	+	0.756	GCCTAGCAACACCCCTCACGGGCTCCGCATT	+
6. <i>FAS</i> (цыпленок)	-63	+	0.749	GGAGTAAACCGTCAGCCCAGTGTGGTGCCG	+
7. <i>ABCG1</i> (человек)	-558	-	0.732	CCCTTCCCAGCCACCCCCACCCGACGGTGT	+
8. <i>INSIG1</i> (человек)	-385	+	0.736	GGCCCGAAAAAATCACCCAAGGATGCAAGC	+
9. <i>INSIG1</i> (человек)	-99	+	0.769	GCGGGGCAAGCTCAGGCCACGCCCTGGGC	+
10. <i>LXRA</i> (человек)	-81	-	0.780	CTGCCGAGGGTCAGGCCACCCCTCCTTCC	+
11. <i>CYP4A6</i> (кролик)	-641	-	0.783	ACAAGCATTCCACCCCCACTGCCCTCAACT	+
12. <i>LPL</i> (мышь)	-773	+	0.805	CCACACTCCTAGCACCCATATCCCTCGC	+
13. <i>CPT2</i> (человек)	-789	+	0.731	CAATCCGAGGTACCTAACTAGATAACAAA	+
14. <i>IBABP</i> (мышь)	-67	-	0.863	AGCCCCAAAGTCACCCCCACTTCTCAGTCCT	+
15. <i>IBABP</i> (человек)	-66	-	0.881	CAGCCCCTAAGTCACCCCACTTCTTCTCCC	+
B) Потенциальные SRE, имеющие уровень конформационного сходства менее 73%					
16. <i>LXRA</i> (мышь)	-222	+	0.729	TCTCTGCCCCCTCAGGGCATCCACACAA	+
17. <i>PLCG1</i> (человек)	-36	+	0.728	GGGGTGGGCCTCAGGGCAGCCCCGCCCCG	+
18. <i>RXRG</i> (мышь)	+25	+	0.727	GGAAGAGTCGCTCACAGCAGCCAAACCCAG	+
19. <i>SRB1</i> (человек)	-769	+	0.725	GGGGGCCCGCTCACGGGTTGGCATCCCAG	-
20. <i>MSR</i> (человек)	-323	-	0.704	AGTGGTGTGATCTCAGCTCACTGCAACCTC	+
21. <i>LXRA</i> (человек)	-707	-	0.717	CAACTCAGGTTGGCAGCCCAGGATGGACCTG	+
22. <i>LXRA</i> (человек)	-894	-	0.717	CCAGCCCTGTTCAAGGGTGTGGGGGAGA	-
23. <i>FAS</i> (цыпленок)	-429	-	0.716	AGTGGCCGGCCGGCACCCAACGCGGGGGCG	-
24. <i>CAV1</i> (мышь)	-239	-	0.715	GACCCCACAACTCACCTGCTCCGTGGTCC	-
25. <i>SIP</i> (человек)	-101	+	0.713	GAACACGCCTGGCACTCCATTGGGCTG	-
26. <i>ABCG1</i> (человек)	-390	+	0.712	CCCCGCAGCCTCACCGTGCTGGCCAGCC	+
27. <i>INSIG1</i> (человек)	-47	-	0.712	GGGGGGCCCGCATCACGTGAGCCTGCCGG	-
28. <i>FAS</i> (цыпленок)	-129	+	0.705	CAGGGGCTGGCATCACCCGGGGCGCTC	+
29. <i>CAV1</i> (мышь)	-501	-	0.699	TGCCAAGACCTGTCACCCCCCACCCCCATGC	-
30. <i>SCAP</i> (человек)	-60	+	0.694	CAGGCGCCCTGAGCACCCCGCTGACGGTAC	+

100
%

* Позиция указана относительно старта транскрипции

** Уровень конформационного сходства с известными сайтами связывания SREBP, оцененный методом SITECON

Экспериментальная проверка проводилась методом задержки комплекса ДНК/белок в геле (EMSA) с использованием рекомбинантного белка SREBP1-а человека в лаборатории регуляции экспрессии генов ИЦиГ СО РАН.



Спасибо за внимание!